arXiv:1405.0323v2 [physics.ed-ph] 6 Jul 2014

July 8, 2014

Sector Models – A Toolkit for Teaching General Relativity. Part 1: Curved Spaces and Spacetimes

C Zahn and U Kraus

Institut für Physik, Universität Hildesheim, Marienburger Platz 22, 31141 Hildesheim, Germany

E-mail: corvin.zahn@uni-hildesheim.de, ute.kraus@uni-hildesheim.de

Abstract.
Teaching the general theory of relativity to high school or undergraduate students must be based on an approach that is conceptual rather than mathematical. In this paper we present such an approach that requires no more than elementary mathematics. The central idea of this introduction to general relativity is the use of so-called sector models. Sector models describe curved spaces the Regge calculus way by subdivision into blocks with euclidean geometry. This procedure is similar to the approximation of a curved surface by flat triangles. We outline a workshop for high school and undergraduate students that introduces the notion of curved space by means of sector models of black holes. We further describe the extension to sector models of curved spacetimes. The spacetime models are suitable for learners with a basic knowledge of special relativity. The teaching materials presented in this paper are available online for teaching purposes, see http://www.spacetimetravel.org.
(Some figures are in colour only in the electronic version.)

1. Introduction

The general theory of relativity is one of the two fundamental advancements in physics in the 20th century, the other one being quantum theory. Tested to high accuracy within the solar system, the theory is well established. It belongs to the foundations of today's physical view of the world; for the understanding of many astrophysical phenomena it is of major importance. Also, the theory of relativity strongly attracts the interest of the general public, not least because of its relevance for understanding exotic phenomena like black holes and for cosmological questions about the beginning and the end of the universe.

However, teaching this theory that is so important and so fascinating to many students is faced with a basic problem at the high school and undergraduate levels. The standard introduction provides the necessary mathematical tools, moves on to the motivation of the field equations and to the derivation of analytic solutions, and then examines the solutions, especially with regard to the paths of particles and light. The mathematical tools that this programme is based on are extensive and way beyond the elementary mathematics taught in school. For high school and beginning undergraduate students the standard approach is therefore not accessible. It is likewise out of reach of a physics minor programme since there is not enough time to develop the mathematical background and then continue all the way to the astrophysical phenomena.

Consequently, it is a desideratum to teach general relativity in a way that is based on elementary mathematics only. This objective, already stated by Einstein in 1916 (Einstein, 1916) has been pursued in many different ways both in the development of teaching materials and in popular science publications. The following four approaches are widely-used:

1. Conclusions from the principle of equivalence: Gravitational light deflection and time dilation are introduced by means of thought experiments based on the equivalence principle (e.g. in Einstein, 1916; Gamow, 1961; Sartori, 1996; Tipler and Mosca, 2008; Stannard, 2008).

2. Description of the geometry of curved surfaces: Using simple curved surfaces, e.g. the surface of a sphere, geometric concepts that are important for curved spacetimes are introduced, for instance metric, geodesics and curvature (e.g. in Sartori, 1996; Hartle, 2003; Stannard, 2008; Natário, 2011).

3. Computations based on Newtonian dynamics: Newtonian computations are performed for phenomena that should in fact be described in terms of general relativity, like gravitational light deflection, black holes and the cosmological expansion (e.g. in Ehlers and Pössel, 2003; Lotze, 2005). The idea behind this is to use familiar concepts like force and energy in order to head straight for the phenomena (e.g. light deflection, described as deflection of a classical particle stream) and on to astrophysical applications (e.g. gravitational lenses). The conceptual change associated with general relativity is an issue that is not raised in this approach.

4. Analogies: Especially in popular science publications analogies are widely used

both to introduce basic concepts (e.g. a ball making a depression in a rubber sheet to illustrate the concept "mass curves space") and to describe relativistic phenomena (e.g.: a wine glass base acting as a "gravitational lens") (e.g. Price and Grover, 2001; Lotze, 2004). The use of analogies entails a considerable risk of the formation of misconceptions (Zahn and Kraus, 2010).

Another pictorial but more sophisticated description of curved spaces and spacetimes uses embedding diagrams. Embeddings of two-dimensional subspaces in three-dimensional flat space have been described both for the spatial (Flamm, 1916; Epstein, 1994; Jonsson, 2001, 2005) and for the spatiotemporal case (Marolf, 1998). The significance of embeddings goes beyond that of analogies as mentioned in items 2 and 4 above. Embeddings represent subspaces of definite spacetimes so that their geometric properties have physical significance. Like the analogies mentioned above, embeddings are limited to two-dimensional subspaces.

This paper presents a novel approach to teaching general relativity that like the above-mentioned ones uses elementary mathematics at most. Its objective is to convey the basic ideas of the general theory of relativity as summarized succinctly by John Wheeler in his well-known saying (Wheeler, 1990):

> *Spacetime tells matter how to move.*
> *Matter tells spacetime how to curve.*

This summary shows that the following three fundamental questions should be addressed:

(i) What is a curved spacetime?
(ii) How does matter move in a curved spacetime?
(iii) How is the curvature of the spacetime linked to the distribution of matter?

The central idea in the approach presented in this paper is the use of so-called *sector models*. A sector model depicts a two- or three-dimensional subspace of a curved spacetime. It is true to scale and is built according to the description of spacetimes in the Regge calculus by way of subdivision into uncurved blocks (Regge, 1961). In case of a two-dimensional space the blocks are flat elements of area. In case of a three-dimensional space the blocks are bricks, the geometry within each brick being euclidean. Spatiotemporal subspaces are represented by sectors that have internal Minkowski geometry. To build a physical model, the sectors can be realized as pieces of paper or as boxes made from cardboard.

Using sector models the three questions stated above can be treated in a descriptive way. The approach is suitable for undergraduate students and can also be used with advanced high school students. Since this description of the basic ideas is closely connected with the standard mathematical presentation, the approach can also be used as a complement to a standard textbook in order to promote a geometric understanding of curved spacetimes.

This paper addresses the first of the three fundamental questions in more detail and shows how the properties of curved space can be conveyed using sector models. The Schwarzschild spacetime of a black hole will serve as an example for this introduction. Section 2 outlines a workshop introducing the notion of curved space. The workshop has been held several times for high-school and for undergraduate students. The concept of the sector model is introduced in this section in a non-technical way. Details on the computation of the sector models and on their properties are given in section 3, a spacetime sector model is presented in section 4, and section 5 gives an outlook on further applications of sector models.

2. A do-it-yourself black hole

This workshop introduces the three-dimensional curved space of a black hole. The concept of a curved space is presented in a descriptive way in order to promote a qualitative understanding of the properties of curved spaces. The black hole is a convenient example for two reasons: As an exotic object with frequent media coverage it appeals to many people. Also, close to a black hole relativistic effects are sufficiently large to be clearly visible in a true-to-scale model.

2.1. Curved surfaces

For a start we introduce the concept of curvature using curved surfaces by way of example. In doing so we distinguish positive, negative and zero curvature. The sphere, the saddle and the plane are introduced as prototypes of the three types of curved surfaces.

We state the criterion that permits to determine the type of curvature: A small piece of the surface is cut out and flattened on a plane. If it tears when flattened, the curvature is positive, if it buckles, the curvature is negative. A piece that can be flattened without tearing or buckling has zero curvature. This criterion determines the sign of the internal (Gaussian) curvature. For practice it is applied to different surfaces. Useful examples are in particular the torus (negative curvature at the inner rim, positive curvature at the outer rim) to demonstrate that curvature can vary from point to point, and the cylinder (zero curvature) to show that curvature as defined here is not in perfect agreement with the everyday use of the word.

The second step illustrates how a curved surface can be approximated by small flat pieces. Using glue and the cut-out sheets shown in figure 1 one group is given the task to build two surfaces (figure 2(a), 2(b)) and to determine the sign of the curvature in each case. A second group is instructed to just cut out the flat pieces without glueing them together, to lay them out on the table (figure 2(c), 2(d)) and to find out the sign of the curvature from this set-up. The criterion "tearing" or "buckling" can easily be applied in this case also (figure 2(e), 2(f)).

The aim of the third step is to accept the representation of a curved surface by pieces

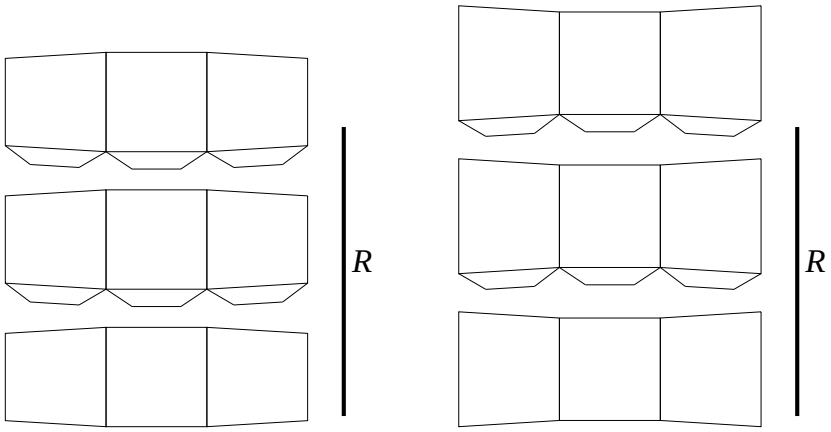

Figure 1. Cut-out sheets for two curved surfaces. Left: spherical cap with positive curvature $K = 1/R^2$, R being the radius of the sphere. Right: Saddle with constant negative curvature $K = -1/R^2$. The length of the scale bar indicates the value of R.

laid out in the plane (figure 2(c), 2(d)) as a useful and indeed equivalent alternative to the more familiar picture of the surface bending into the third dimension (figure 2(a), 2(b)). To prepare for this new point of view we describe the world view of "flatlanders", the inhabitants of "Flatland" in Edwin Abbott's tale of the same name (Abbott, 1884):

I call our world Flatland (...). Image a vast sheet of paper on which (...) figures (...) move freely about, but without the power of rising above or sinking below it, very much like shadows (...).

The flatlanders move in two dimensions (forward – backward, right – left), the third dimension (up – down) is not only unaccessible to them, but is beyond their imagination. When we extend Abbot's flatland to curved surfaces, the flatlanders still move only within the surface forward – backward and right – left. Lacking the concept of up and down, they cannot conceive of a surface bending into an embedding three-dimensional space. Nevertheless, they are able to study the curvature of their world. To do this, they fabricate a model similar to the ones shown in figures 2(c), 2(d): A tract is subdivided into lots that are small enough to be approximately flat. The lengths of the edges of all the lots are measured, the pieces reproduced on a reduced scale and laid out in the plane (similar to the arrangement in figures 2(c) and 2(d)). The pieces fit together without gaps only if the region in question is flat. Otherwise, the region has curvature the sign of which can be found out by applying the criterion "tearing or buckling?" at the vertices (similar to the arrangement in figures 2(e) and 2(f)).

2.2. Curved space

In step four we now study a three-dimensional curved space. Being "spacelanders" familiar with three dimensions but unable to conceive of a higher dimensional space, we can examine the curvature of our three-dimensional space the same way that flatlanders examine curved surfaces: We subdivide a spatial region into pieces (three-dimensional blocks) that are small enough to be approximately euclidean. The lengths of all the

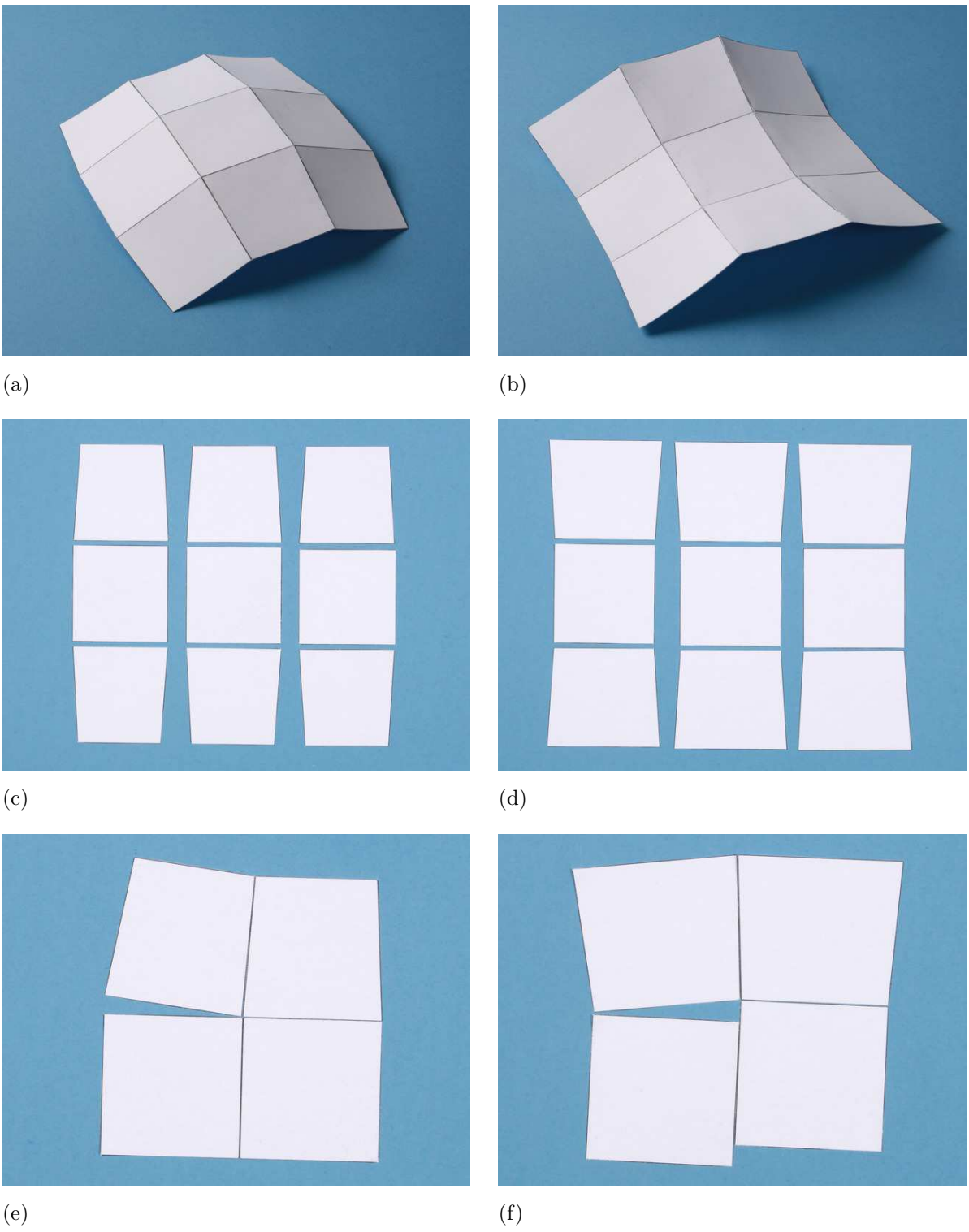

(a) (b)

(c) (d)

(e) (f)

Figure 2. Surfaces with positive curvature (a) and negative curvature (b) approximated by flat pieces. Their sector models (c, d) indicate the positive curvature by "tearing" (e) and the negative curvature by "buckling" (f), respectively.

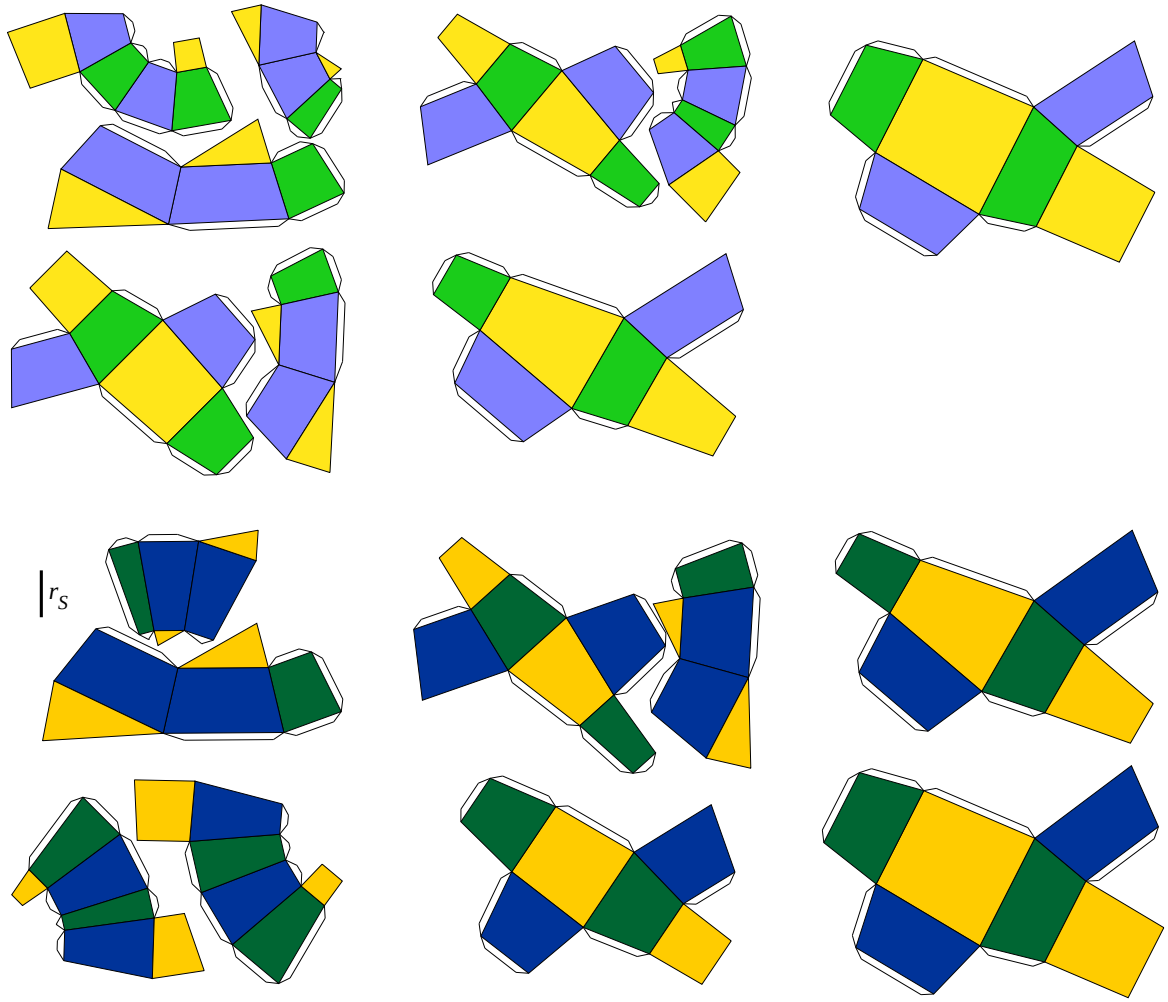

Figure 3. Cut-out sheets for cardboard models depicting euclidean space (top) and a black hole (bottom), respectively. The length of the scale bar indicates the Schwarzschild radius r_S of the black hole.

edges are measured, the blocks reproduced on a reduced scale and laid out in euclidean space. If the spatial region has zero curvature, the blocks can be assembled without gaps. Otherwise, the model indicates the curvature of the region.

Two such models – one depicting euclidean space, the other one depicting the curved space around a black hole – are built by the participants. The cut-out sheet for the euclidean model (figure 3 top) yields nine blocks with yellow, green, and blue sides (figure 4(a)). Assembled (yellow upon yellow and green upon green) this part of the model has the shape of half an orange slice (figure 4(b)). If possible, at least three such slices should be built. Set up side by side they form one eighth of a sphere (figure 4(c) shows one quarter of a sphere made up of six slices) with a small spherical cavity in the centre. In figure 4(c) an extra grey block fills the cavity to support the structure (a cut-out sheet for the supporting block is part of the online resources (Zahn and Kraus, 2014)). Twenty-four slices add up to the complete model of a hollow sphere. The

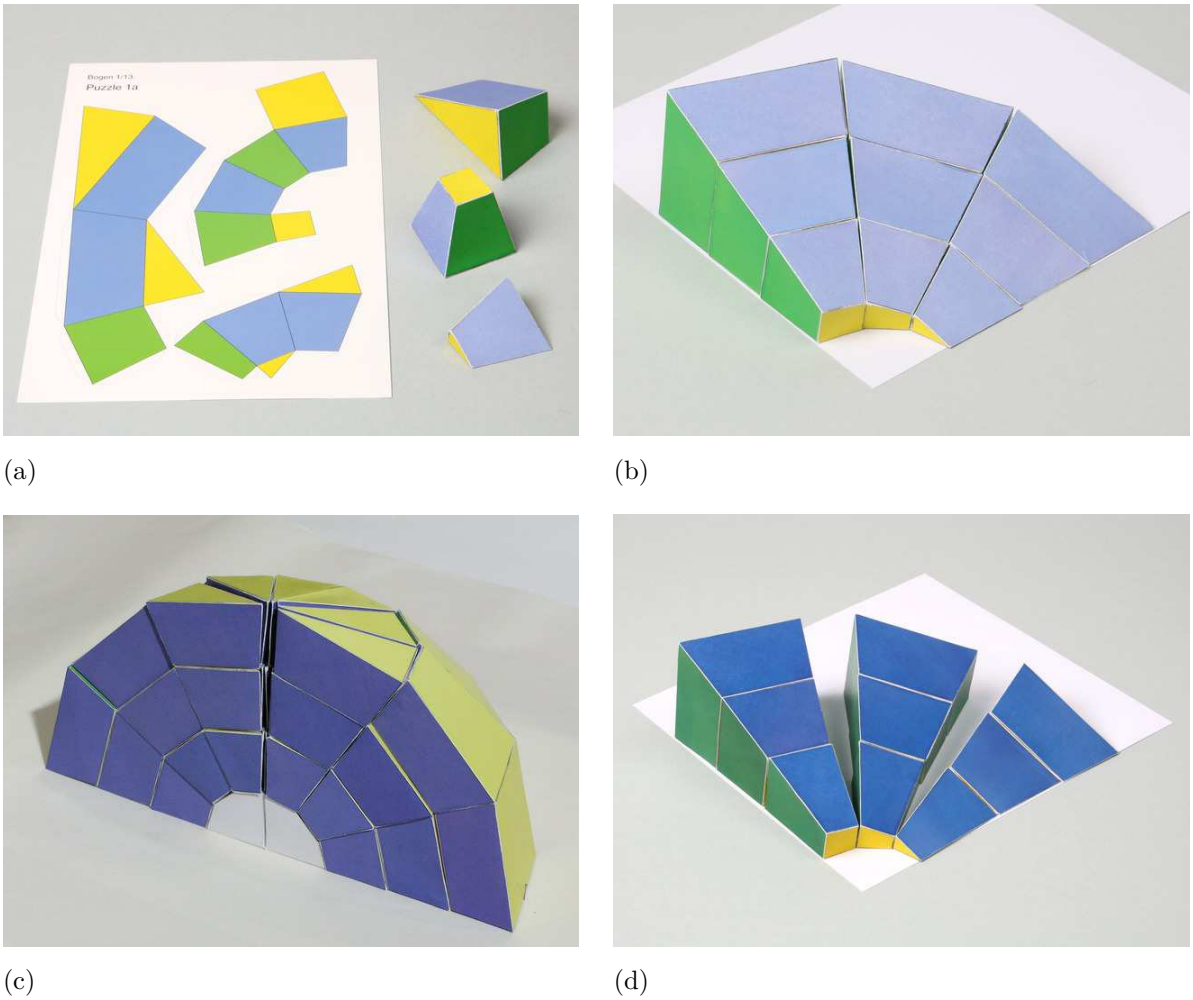

(a) (b)

(c) (d)

Figure 4. Sector models: individual sectors (a), single slice (b), and quarter sphere (c) of the model "euclidean space", single slice of the model "black hole" (d).

computer generated picture in figure 5(a) shows the nearly complete sector model. Obviously all the blocks fit together perfectly as was to be expected for a euclidean space.

The second sector model depicts a spatial region of the same shape: A hollow sphere that has been subdivided into 24 slices of 9 blocks each, following the same pattern as before. This time, though, there is a black hole in the centre of the sphere so that space in this region is strongly curved. The reason for the spherical hollow at the centre of the models becomes clear at this point: The cavity is a little larger than the horizon of the black hole and so completely contains the interior region that cannot be represented by a rigid model. Using the cut-out sheet "black hole" (figure 3 bottom) nine blocks are built and combined to form a slice (figure 4(d)). Figure 5(b) shows a computer generated picture of the nearly complete model. The blocks obviously cannot be arranged to fill a sphere without gaps, and this reveals that the space in question has non-vanishing curvature.

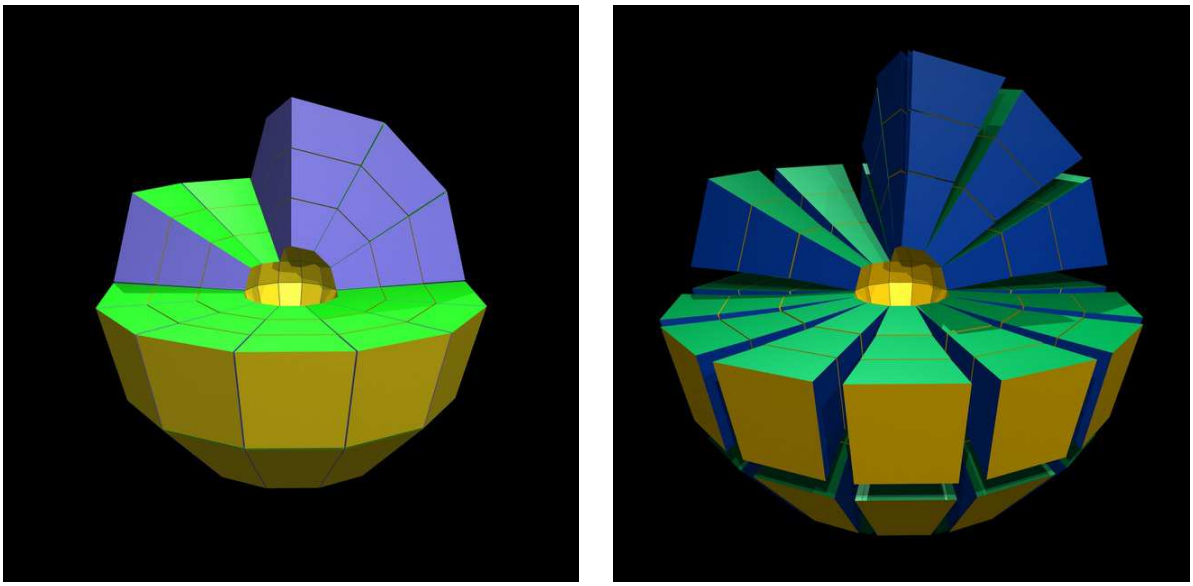

(a) (b)

Figure 5. Computer generated pictures of the sector models "euclidean space" (a) and "black hole" (b). If a black hole of the appropriate mass was placed in the centre of the black hole model, the blocks with the sizes and shapes as shown here would fit without gaps.

Gaps appear whenever the pieces of a curved surface are laid out in a plane or the blocks of a curved space are assembled in euclidean space. With a black hole of the appropriate mass in the centre of the black hole model, though, the blocks *the way they are* would fit without gaps. Just like the elements of area would fit without gaps if laid out on a surface with the appropriate curvature.

By means of the sector model, the curvature is then examined in more detail. This is done along the lines of the two-dimensional case: In figures 2(e) and 2(f), four elements of area each are joined at a common vertex in order to resolve the question of "tearing or buckling". In the spatial model, four blocks share not a vertex, but an edge. When all four are joined at the common edge, a gap may remain ("tearing", indicating positive curvature) as in figure 6(a) or the residual space after joining three blocks may be too small to hold the fourth ("buckling", indicating negative curvature) as in figures 6(b) and 6(c). Note that the three subimages (a), (b), and (c) of figure 6 belong to three different edges *at the same place*. I.e. the curvature at one and the same point has a different value and indeed a different sign depending on the orientation of the edge that is considered. Hence, in more than two dimensions, "curvature" is not a number, but a quantity with multiple components. It is one of the strong points of sector models that they clearly display this fundamental property of curved spaces of more than two dimensions (Zahn, 2008).

By comparing the two sector models one can moreover show that the laws of euclidean geometry do not hold in a curved space. For instance the relation between

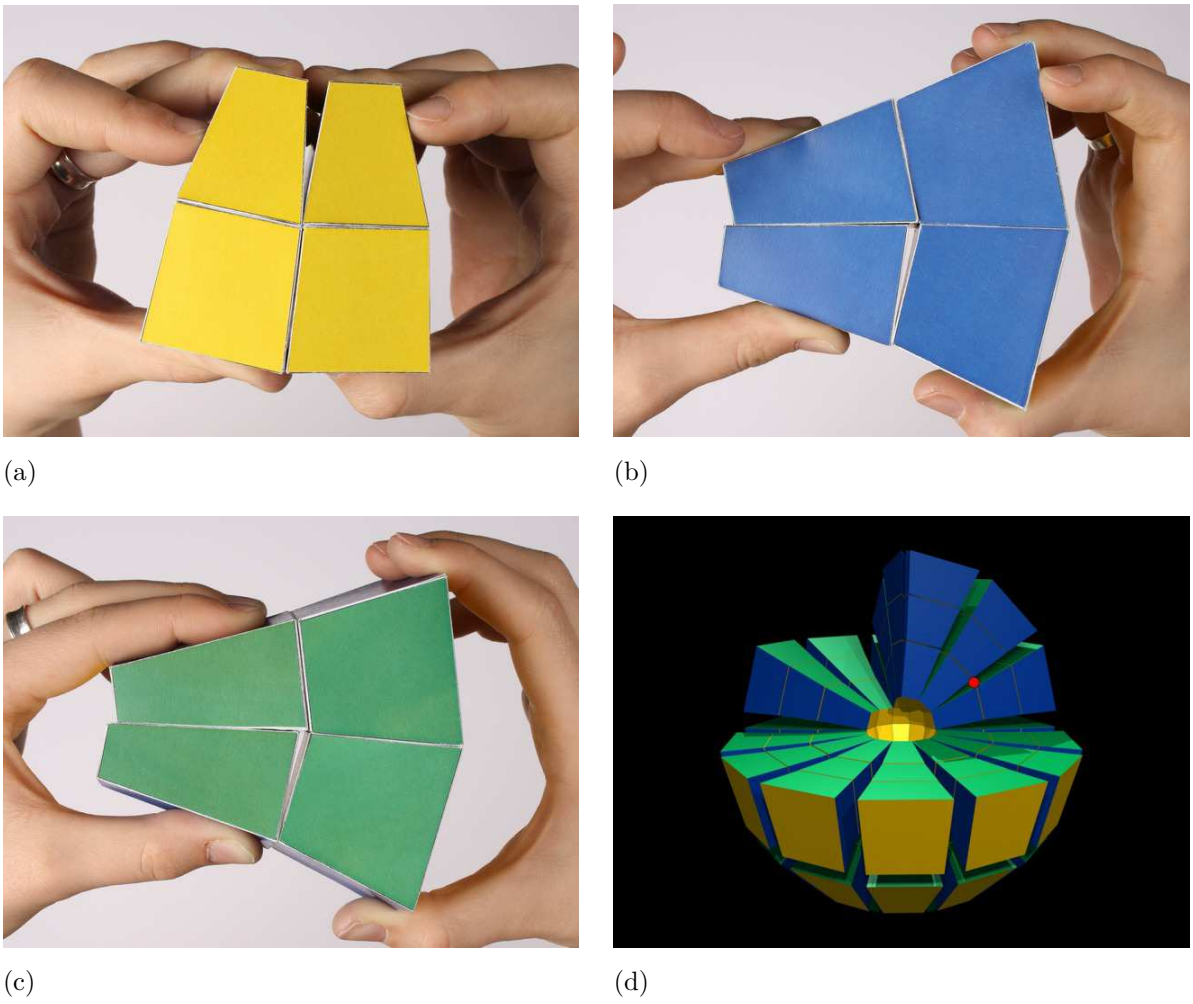

(a) (b)

(c) (d)

Figure 6. Curvature in three-dimensional space. The middle vertex in subimages (a), (b), and (c) is the same in all cases, it is marked in (d) with a red dot. The curvature is positive with respect to the radial edge (a) and negative with respect to both tangential edges (b, c).

surface and volume of an object: The outer spherical boundary of the models has the same surface area in both cases. This is easily seen by placing the outer surfaces of corresponding blocks side by side. The same holds for the surface area of the inner spherical boundary. The volume enclosed within these two boundaries is different, though: In radial direction, each block of the black hole model is longer than the corresponding block of the euclidean space model, i.e. the surface with the same area encloses a larger volume. At this point one may recall the flatlanders who in their two-dimensional world come to quite similar conclusions: When they measure circumference and area of a circle on a hill, the area is larger than it would be in the plane given the same circumference.

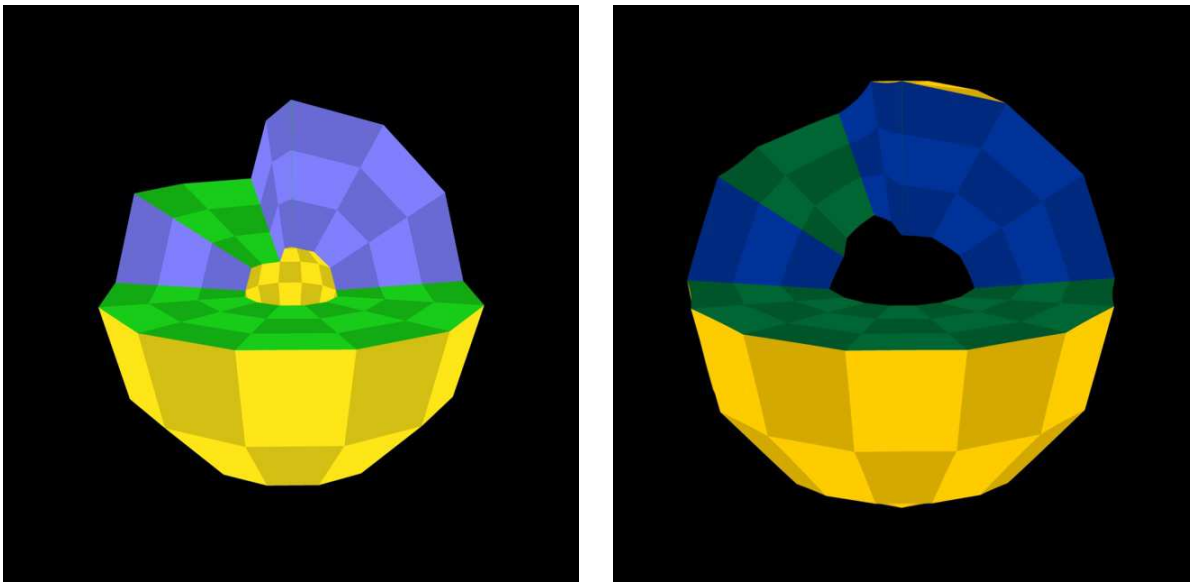

(a) (b)

Figure 7. View of the sector model "at its place of origin", (a) euclidean space, (b) Schwarzschild space.

2.3. Visualization of sector models

By construction, each sector model fills space completely, i.e. without gaps, at its place of origin. This also holds for the sector model of a black hole that in euclidean space cannot be assembled without gaps. One may ask what this sector model would look like, at its place of origin around a black hole, when the shape of each block is exactly as shown in figure 5(b) and these blocks join to fill a sphere. Figure 7(b) shows this view with the set-up of figure 5(b). The images in figure 7 have been computed with the ray tracing method of computer graphics by retracing, for each pixel, the incoming light ray to its point of origin (Zahn, 1991). As expected no gaps appear between the blocks‡. Comparing figure 7(b) to figure 5(b), one notices that the raytraced image appears somewhat distorted and in particular does not show the yellow inner spherical boundary. These effects are due to gravitational light deflection in the curved spacetime of the black hole.

3. The sector models

3.1. Sector models of curved surfaces

The surface with positive curvature presented in section 2.1 is a spherical cap with metric

$$\mathrm{d}s^2 = R^2\mathrm{d}\theta^2 + R^2\cos^2\theta\,\mathrm{d}\phi^2 \tag{1}$$

‡ In order to be able to distinguish neighbouring blocks, they have been given slightly different shades of colour in this image.

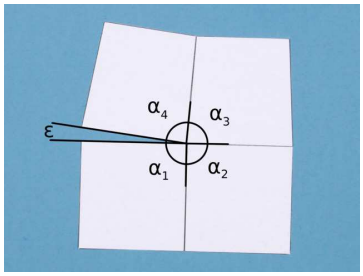

Figure 8. Deficit angle ϵ of a vertex.

and constant Gaussian curvature $K = 1/R^2$, R being the radius of the sphere. The surface with negative curvature is a saddle with metric

$$\mathrm{d}s^2 = R^2\mathrm{d}\theta^2 + R^2\cosh^2\theta\,\mathrm{d}\phi^2 \tag{2}$$

and constant Gaussian curvature $K = -1/R^2$. In order to subdivide the surfaces, (figures 2(c), 2(d)) vertices were chosen at coordinates

$$\begin{aligned} \theta_i &= -\frac{\pi}{6} + i\cdot\frac{\pi}{9} \qquad & i = 0\ldots 3, \\ \phi_j &= j\cdot\frac{\pi}{9} & j = 0\ldots 3. \end{aligned}$$

The lengths of the edges are the lengths of the spacelike geodesics between neighbouring vertices. They are computed by integrating the line element along the geodesics. The edge lengths together with the condition of mirror symmetry uniquely determine the shapes of the trapezoidal sectors.

The deficit angle of a vertex (figure 8) is defined as

$$\epsilon = 2\pi - \sum_i \alpha_i, \tag{3}$$

where the angles α_i are the interior angles of all the sectors containing the vertex in question. With increasing fineness of the subdivision into sectors

$$K = \rho\epsilon, \tag{4}$$

where ρ is the density of the vertices and ϵ their deficit angle, approximates the Gaussian curvature of the surface (Regge, 1961).

3.2. Spatial sector models

In section 2.2 sector models of euclidean space and of the space around a black hole were introduced. The respective metrics are

$$\mathrm{d}s^2 = \mathrm{d}r^2 + r^2(\mathrm{d}\theta^2 + \sin^2\theta\,\mathrm{d}\phi^2) \tag{5}$$

for euclidean space and

$$\mathrm{d}s^2 = \left(1 - \frac{r_\mathrm{S}}{r}\right)^{-1}\mathrm{d}r^2 + r^2(\mathrm{d}\theta^2 + \sin^2\theta\,\mathrm{d}\phi^2) \tag{6}$$

for the three-dimensional spacelike hypersurface of the Schwarzschild spacetime that is defined by constant Schwarzschild time. Here, $r_\mathrm{S} = 2GM/c^2$ is the Schwarzschild radius

of mass M, G the gravitational constant, and c the speed of light in vacuum. The sector model built from the cut-out sheets available in the online resources (Zahn and Kraus, 2014) corresponds to a black hole mass of three earth masses if the sheets are printed in A4 format.

For the partitioning of the spherical regions (figure 4) vertices were chosen with coordinates

$$\begin{aligned} r_i &= i \cdot 1.25\, r_\mathrm{S} && i = 1 \ldots 4, \\ \theta_j &= j \cdot \frac{\pi}{6} && j = 0 \ldots 6, \\ \phi_k &= k \cdot \frac{\pi}{6} && k = 0 \ldots 11. \end{aligned}$$

Partitioning is limited to the region outside $r = 1.25\, r_\mathrm{S}$. Inside r_S no static spacelike hypersurface can be defined. The computation is performed as in the case of the curved surfaces: The lengths of the edges between neighbouring vertices are computed by integrating the line element along spacelike geodesics. In accord with the symmetric partitioning of the spherical region, the sector faces are described as isosceles trapezia. The shapes of the faces are uniquely defined by the edge lengths together with this symmetry condition. The complete spatial sector model is built up of 216 sectors. Since the partitioning consists of 24 identical slices, one slice contains the full information on the geometry. The cut-out sheets comprise the nine sectors of one slice, corresponding to $i = 1 \ldots 4$, $j = 0 \ldots 3$ and $k = 0 \ldots 1$. The sector models of euclidean space and Schwarzschild space are true-to-scale representations of the respective metrics. The models therefore display the geometric properties of these spaces in a way that is quantitatively correct (within the framework of the rather coarse discretization). In particular in the radial direction a sector of the Schwarzschild space model is longer than the corresponding sector of the euclidean space model. They differ by a factor given by the integral of the metric coefficient $\int (1 - r_\mathrm{S}/r)^{-1/2}\, \mathrm{d}r$ along the edge.

The deficit angle with respect to some edge is again defined by equation (3). In euclidean space it is zero, in Schwarzschild space it depends on the orientation of the edge (figure 6). In a local orthonormal coordinate system and for a partitioning into coordinate cubes, the components $R^{\hat{j}}{}_{\hat{k}\hat{j}\hat{k}}$ of the Riemann curvature tensor are approximated as

$$R^{\hat{j}}{}_{\hat{k}\hat{j}\hat{k}} = \rho \epsilon l, \tag{7}$$

where $\boldsymbol{e}_{\hat{i}}$, $\boldsymbol{e}_{\hat{j}}$, $\boldsymbol{e}_{\hat{k}}$ are the basis vectors, ρ is the density of the edges in i-direction, ϵ their deficit angle and l their length (Regge, 1961; Misner, Thorne and Wheeler, 1973).

4. Spacetime sector models

The idea of approximating a curved surface or a curved space by small uncurved sectors can also be applied to curved spacetimes. In this case the uncurved sectors have Minkowski geometry. Figure 9 gives an example of a spacetime sector model. The curved spacetime here is the two-dimensional t-r subspace of the Schwarzschild spacetime with

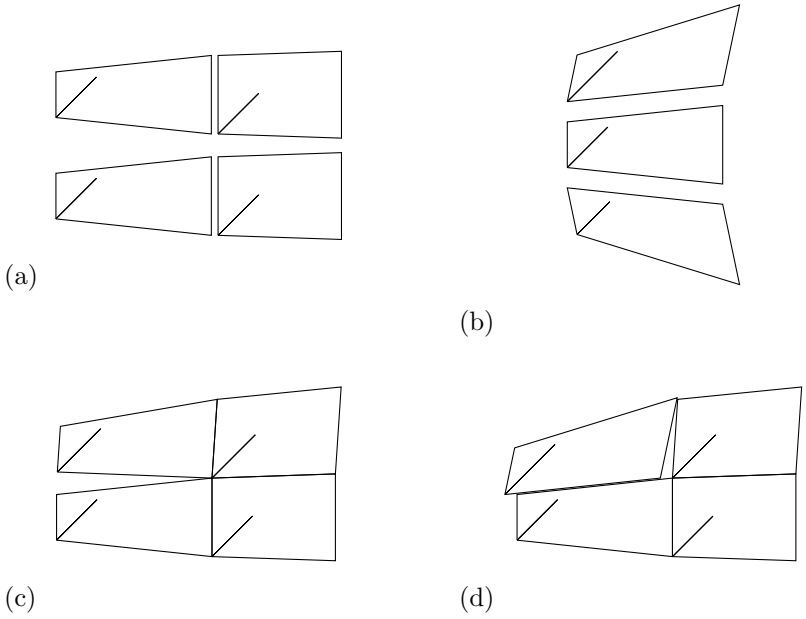

Figure 9. (a) Spacetime sector model of the t-r subspace of the Schwarzschild spacetime. The spacelike coordinate axis is horizontal, the timelike one vertical, and the diagonal lines mark the light cones. (b) Different representations of the same spacetime sector. Lorentz transformations convert them into each other. (c) Deficit angle in spacelike direction: "tearing". (d) Deficit angle in timelike direction: "buckling".

the Schwarzschild radial coordinate r as space coordinate and the Schwarzschild time t as time coordinate. The metric of this subspace is

$$\mathrm{d}s^2 = -\left(1 - \frac{r_\mathrm{S}}{r}\right)\mathrm{d}t^2 + \left(1 - \frac{r_\mathrm{S}}{r}\right)^{-1}\mathrm{d}r^2 \tag{8}$$

with the Schwarzschild radius r_S. In this section geometric units are used so that the speed of light in vacuum c is equal to unity.

The vertices for the subdivision into sectors are at

$$\begin{aligned} t_i &= i \cdot 1.25\, r_\mathrm{S} \qquad i = 0 \ldots 2, \\ r_j &= j \cdot 1.25\, r_\mathrm{S} \qquad j = 1 \ldots 3. \end{aligned}$$

The geodesics that connect neighbouring vertices are partly spacelike and partly timelike. In both cases the length of the edges is determined by integrating the line element along the geodesics. The metric coefficients do not depend on the t coordinate, therefore identical sectors are lined up in t direction. Each sector is described as an isosceles trapezium with the timelike edges as bases. This symmetry condition together with the edge lengths uniquely determines the shapes of the sectors. Fig. 9(a) shows the representation of the sectors in a Minkowski diagram.

The geometry in the interior of each sector is Minkowskian and the statements of the special theory of relativity about Minkowski spacetime apply. In particular this includes the free choice of the inertial frame in which events are described and the use of

the Lorentz transformation in order to change from one inertial frame to another. When two inertial frames connected by a Lorentz transformation are visualized in a Minkowski diagram, their time axes form an angle, the space axes likewise but in the opposite direction, and the light cone is common to both frames. Thus, the representation of the sectors in a Minkowski diagram as shown in figure 9(a) corresponds to the choice of a certain inertial frame, and a boost transformation into a different inertial frame changes the representation of the sectors (figure 9(b)). In the spatiotemporal sense, though, the sectors have the same shape and symmetry in all inertial systems, since these are described in terms of scalar products that are invariant with respect to Lorentz transformations. In order to illustrate the curvature in this subspace, sectors must again be assembled around a vertex. In a spatial sector model a sector is rotated in order to lay it alongside the neighbouring sector. In the spatiotemporal case the rotation is replaced by a Lorentz transformation. One can see that joining neighbouring sectors by means of rotation in the t-r plane is not possible by considering the light cones that must be identical in the two sectors that are joined. Since a change of inertial frame entails a change in the representation of a sector as described above, the common edge of neighbouring sectors can be made to coincide in the Minkowski diagram by a Lorentz transformation (figure 9(c)).

In case of a global Minkowski spacetime, all the sectors can be combined in this way to cover without gaps a section of the spacetime. In the t-r subspace of the Schwarzschild spacetime, however, there is a deficit angle at the vertex (figure 9(c)), indicating there is a non-zero spatiotemporal curvature. If a gap appears between two spacelike edges (as in this example), the spatiotemporal curvature is positive, in case of an overlap it would be negative§. If the sectors are arranged in such a way that the deficit angle appears between two timelike edges, an overlap results in the example shown here (figure 9(d)). The gap between the spacelike edges and the overlap of the timelike edges specify the same Lorentz transformation that would make the edges on both sides of the deficit angle meet.

Similar to the spatial case, the deficit angle is related to the respective component of the curvature tensor: In a local orthonormal coordinate system, and for a partitioning into coordinate cubes, the component $R^{\hat{t}}{}_{\hat{r}\hat{t}\hat{r}}$ is approximated as

$$R^{\hat{t}}{}_{\hat{r}\hat{t}\hat{r}} = \rho\alpha, \tag{9}$$

where $\boldsymbol{e}_{\hat{t}}$ and $\boldsymbol{e}_{\hat{r}}$ are the timelike and spacelike basis vectors, respectively, ρ is the local density of vertices and α the rapidity of the Lorentz transformation specified by the local deficit angle (the velocity being $\beta = \tanh\alpha$).

§ Note that when the signature is chosen to be $(+\,-\,-\,-)$, the spatiotemporal curvature has the opposite sign: It is negative (positive), if a gap (an overlap) appears between two spacelike edges.

5. Conclusions and outlook

Sector models are physical models that represent two- and three-dimensional curved spaces or spacetimes true to scale. This description of curved spaces does not use coordinates, it therefore provides physical insight in a direct and intuitive way. We have shown how the curvature of a three-dimensional space and of a 1+1-dimensional spacetime can be described by means of such models. This is the answer that we propose to give to the first of the three questions raised in the introduction, "What is a curved spacetime?". The work with the sector models can stand on its own, or it can supplement the usual mathematical introduction of the Riemann curvature tensor by providing a visualization.

The workshop on curved spaces outlined in section 2 has been held a number of times with undergraduate students, high school students and interested adults (Zahn and Kraus, 2004; Kraus and Zahn, 2005; Zahn and Kraus, 2010, 2012). The programme and the materials have been developed in several cycles of testing and revision. For several years, this workshop has been held at Hildesheim university for students who intend to become physics teachers.

In comparison with the introduction of curvature via prototypical curved surfaces as described in the introduction, the use of sector models has a considerably wider scope. Curved two-dimensional surfaces when depicted in the usual way are shown embedded in three-dimensional space. This picture cannot be carried over to curved spaces because the necessary higher dimensional embedding space cannot be visualized. The sector models, in contrast, need no extra dimension. The two-dimensional case (flatland) is carried over directly to the three-dimensional case and so makes the curved three-dimensional case accessible to "spacelanders". In particular, sector models illustrate the tensorial character of curvature in spaces of more than two dimensions. This can be accomplished neither with prototypical curved surfaces nor with embedding diagrams.

The usefulness of sector models extends well beyond the visualization of curvature as will be shown in a sequel to this paper. Sector models permit to introduce other geometric concepts (e.g. parallel transport, geodesics) in an intuitive way. They can be used to study relativistic phenomena by construction instead of computation (e.g. particle paths, redshift). Other spacetimes that e.g. contain matter or are not static can be described in the same way as the Schwarzschild spacetime considered here. Thus, the second and third of the fundamental questions stated in the introduction, namely the motion of particles and the connection between curvature and matter can also be addressed within this framework.

References

Abbott E 1884 *Flatland, A Romance in Many Dimensions* (London: Seely & Co)

Ehlers J and Pössel M 2003 Neuere Entwicklungen der relativistischen Physik in Born M *Die Relativitätstheorie Einsteins* (Berlin: Springer)

Einstein A 1916 *Über die spezielle und die allgemeine Relativitätstheorie* reprint 2009 (Berlin: Springer)

Epstein L C 1994 *Relativity Visualized* (San Francisco: Insight)

Flamm L 1916 Beiträge zur Einstein'schen Gravitationstheorie *Physikalische Zeitschrift* **17** 448–54

Gamow G 1961 Gravity *Sci. Am.* **204** 94–106

Hartle J 2003 *Gravity* (San Francisco: Addison Wesley)

Jonsson R M 2000 Embedding spacetime via a geodesically equivalent metric of euclidean signature *Gen. Relativ. Gravit.* **33** 1207–35

Jonsson R M 2005 Visualizing curved spacetime *Am. J. Phys.* **73** (3) 248–60

Kraus U and Zahn C 2005 Wir basteln ein Schwarzes Loch – Unterrichtsmaterialien zur Allgemeinen Relativitätstheorie *Praxis der Naturwissenschaften Physik, Didaktik der Relativitätstheorien* **4/54** 38–43

Lotze K-H 2004 Eine gläserne „Gravitations"-Linse *Astronomie und Raumfahrt* **5/41** 10–14

Lotze K-H 2005 Wissenschaftsdidaktische Variationen über die Lichtablenkung am Sonnenrand *Praxis der Naturwissenschaften, Physik in der Schule* **4/54** 29–37

Marolf D 1999 Spacetime embedding diagrams for black holes *Gen. Rel. Grav.* **31** 919 (*Preprint* gr-qc/9806123)

Misner C, Thorne K and Wheeler J 1973 *Gravitation* (San Francisco: W. H. Freeman & Co.)

Natário J 2011 *General Relativity Without Calculus* (Berlin: Springer)

Price R and Grover E 2001 Cosmological expansion in the classroom *Am. J. Phys.* **69** (2) 125–28

Regge T 1961 General relativity without coordinates *Il Nuovo Cimento* **19** 558–71

Sartori L 1996 *Relativity. A Simplified Approach to Einstein's Theories* (Berkeley: University of California Press)

Stannard R 2008 *Relativity. A Very Short Introduction* (Oxford: Oxford University Press)

Tipler P and Mosca G 2008 *Physics for Scientists and Engineers. With Modern Physics* (San Francisco: W. H. Freeman & Co.)

Wheeler J A 1990 *A Journey into Gravity and Spacetime* (New York: W. H. Freeman & Co.)

Zahn C 1991 *Vierdimensionales Ray-Tracing in einer gekrümmten Raumzeit*, Diplomarbeit, Universität Stuttgart
`http://www.tempolimit-lichtgeschwindigkeit.de/ssm/ssm.html`

Zahn C 2008 *Visualisierung der Relativitätstheorie – Koordinatenfreie und interaktive Werkzeuge*, Dissertation, Universität Tübingen
`http://hdl.handle.net/10900/49214`

Zahn C and Kraus U 2004 *Wir basteln ein Schwarzes Loch*, Arbeitsheft mit Bastelbögen
`http://www.tempolimit-lichtgeschwindigkeit.de/graum/bastel.html`

Zahn C and Kraus U 2010 Workshops zur Allgemeinen Relativitätstheorie im Schülerlabor „Raumzeitwerkstatt“ an der Universität Hildesheim *PhyDid B* DD 09.03

Zahn C and Kraus U 2012 Allgemeine Relativitätstheorie in der Schule *Inquiry-based Learning – Forschendes Lernen* ed S Bernholt (IPN Kiel) pp 317–19

Zahn C and Kraus U 2014 Online resources for this contribution
`http://www.spacetimetravel.org/sectormodels1/sectormodels1.html`

arXiv:1405.0323v2 [physics.ed-ph] 6 Jul 2014

8. Juli 2014

Sektormodelle – Ein Werkzeugkasten zur Vermittlung der Allgemeinen Relativitätstheorie. Teil 1: Gekrümmte Räume und Raumzeiten

C Zahn und U Kraus

Institut für Physik, Universität Hildesheim, Marienburger Platz 22, 31141 Hildesheim, Germany

E-mail: corvin.zahn@uni-hildesheim.de, ute.kraus@uni-hildesheim.de

Zusammenfassung.
Für die Vermittlung der Allgemeinen Relativitätstheorie in der Schule, im Grund- oder im Nebenfachstudium besteht das Anliegen, eine fachlich befriedigende Darstellung zu geben, die nicht mehr als Schulmathematik voraussetzt. Wir stellen in diesem Beitrag einen solchen Zugang vor. Das zentrale Werkzeug unserer Einführung sind sogenannte Sektormodelle, die gekrümmte Räume im Sinne des Regge-Kalküls durch eine Zerlegung in kleine, ungekrümmte Sektoren beschreiben, ähnlich der Triangulierung einer gekrümmten Fläche. Wir schildern einen Workshop für Schüler/innen und Studierende, in dem gekrümmte Räume anhand von Sektormodellen Schwarzer Löcher eingeführt werden. Wir beschreiben ferner die Erweiterung auf Sektormodelle gekrümmter Raumzeiten. Raumzeitliche Sektormodelle setzen Grundkenntnisse der Speziellen Relativitätstheorie voraus. Die vorgestellten Materialien stehen online unter http://www.tempolimit-lichtgeschwindigkeit.de für den Unterricht zur Verfügung.

1. Einleitung

Die Allgemeine Relativitätstheorie ist neben der Quantentheorie eine der beiden großen Weiterentwicklungen der Physik im 20. Jahrhundert. Durch Experimente im Sonnensystem mit hoher Genauigkeit getestet, ist sie eine gut etablierte Theorie. Sie gehört zu den Grundlagen des heutigen physikalischen Weltbildes; von zentraler Bedeutung ist sie für das Verständnis vieler astrophysikalischer Phänomene. Die Relativitätstheorie ist auch von hohem Interesse für die allgemeine Bevölkerung, nicht zuletzt wegen ihrer Bedeutung für das Verständnis exotischer Objekte wie Schwarzer Löcher sowie für Fragen nach Anfang und Ende der Welt.

Die Vermittlung dieser wichtigen und für Studierende und Schüler/innen in der Regel faszinierenden Theorie steht jedoch vor einem grundlegenden Problem. Die Standarddarstellung beginnt mit den benötigten mathematischen Werkzeugen, begründet dann die Einsteinschen Feldgleichungen, leitet Lösungen der Feldgleichungen her und untersucht schließlich deren Eigenschaften, insbesondere die Bahnen von Teilchen und Licht. Die mathematischen Werkzeuge, auf denen dieses Programm aufbaut, sind umfangreich und gehen über Schulmathematik weit hinaus. Für Schüler/innen und Studienanfänger/innen sind die mathematischen Anforderungen also zu hoch. Ebenso im Studium von Physik als Nebenfach oder als einem von zwei Hauptfächern (z. B. Lehramtsstudium), da hier nicht genügend Zeit zur Verfügung steht, um die mathematischen Grundlagen zu entwickeln und dann den Bogen bis zu den aktuellen Anwendungen zu schlagen.

Daraus folgt das Anliegen, die Allgemeine Relativitätstheorie ohne ihren mathematischen Apparat zu vermitteln, d. h. eine fachlich befriedigende und anschlussfähige Darstellung zu geben, die nicht mehr als Schulmathematik verwendet. Dieses Anliegen, bereits von Einstein 1916 formuliert (Einstein, 1916), ist seitdem in zahlreichen Unterrichtsvorschlägen sowie in populärwissenschaftlichen Darstellungen weiterverfolgt worden. Die folgenden vier Herangehensweisen haben eine größere Verbreitung gefunden:

1. Folgerungen aus dem Äquivalenzprinzip: Anhand von Gedankenexperimenten werden die gravitative Lichtablenkung und die gravitative Zeitdilatation thematisiert (z. B. in Einstein, 1916; Gamow, 1961; Sartori, 1996; Tipler und Mosca, 2008; Stannard, 2008).

2. Beschreibung der Geometrie gekrümmter Flächen: Am Beispiel einfacher gekrümmter Flächen wie z. B. der Kugeloberfläche werden die geometrischen Begriffe eingeführt, die im Zusammenhang mit gekrümmten Raumzeiten eine wichtige Rolle spielen, beispielsweise Metrik, Geodäten und Krümmung (z. B. in Sartori, 1996; Hartle, 2003; Stannard, 2008; Natário, 2011).

3. Rechnungen auf der Grundlage der Newtonschen Dynamik: Zu Phänomenen, die eigentlich mit der Relativitätstheorie zu beschreiben wären, beispielsweise Lichtablenkung, Schwarze Löcher oder die kosmologische Expansion, werden Rechnungen im Rahmen der Newtonschen Theorie durchgeführt (z. B. in Ehlers und Pössel, 2003; Lotze, 2005). Dahinter steht der didaktische Ansatz, dass mit vertrauten Begriffen

wie Kraft und Energie gearbeitet wird um einen direkten Zugang zu den Phänomenen (z. B. Lichtablenkung, beschrieben als Ablenkung eines klassischen Teilchenstroms) und damit zur relativistischen Astrophysik (z. B. Gravitationslinsen) zu schaffen. Die Frage nach den Grundkonzepten der Allgemeinen Relativitätstheorie und dem Konzeptwechsel gegenüber der Newtonschen Theorie wird bei diesem Zugang nicht gestellt.

4. Analogien: Im populärwissenschaftlichen Bereich ist der Einsatz von Analogien vorherrschend. Analogien werden sowohl zur Einführung von Grundkonzepten (Beispiel: ein von einer Kugel eingedelltes Gummituch illustriert das Konzept „Masse krümmt den Raum“) als auch in Bezug auf relativistische Phänomene (Beispiel: der Fuß eines Weinglases als „Gravitationslinse“) eingesetzt (z. B. in Price und Grover, 2001; Lotze, 2004). Der Zugang über Analogien birgt ein nicht unerhebliches Risiko für die Entstehung von Fehlvorstellungen (Zahn und Kraus, 2010).

Ein weiterer, wenn auch anspruchsvollerer Ansatz zur bildlichen Darstellung gekrümmter Räume und Raumzeiten nutzt Einbettungsdiagramme. Einbettungen werden für rein räumliche zweidimensionale Unterräume (Flamm, 1916; Epstein, 1994; Jonsson, 2001, 2005) sowie für raumzeitliche Unterräume (Marolf, 1998) beschrieben. Einbettungen gehen über Analogien wie die oben unter Punkt 2 und 4 erwähnten hinaus, da sie physikalisch bedeutsame Unterräume konkreter Raumzeiten darstellen, so dass ihre geometrischen Eigenschaften physikalische Bedeutung haben. Sie sind, wie die oben erwähnten Analogien, auf zweidimensionale Unterräume beschränkt.

Dieser Beitrag stellt einen neuartigen Zugang zur Allgemeinen Relativitätstheorie vor, der wie die oben genannten das Anliegen hat mit Schulmathematik auszukommen. Er zielt auf die Grundkonzepte der Allgemeinen Relativitätstheorie ab, wie sie in knappster Form in dem bekannten Ausspruch von John Wheeler zusammengefasst sind (Wheeler, 1990):

> *Spacetime tells matter how to move.*
> *Matter tells spacetime how to curve.*‡

Der Ausspruch verdeutlicht, dass drei grundlegende Fragen zu beantworten sind:

(i) Was ist eine gekrümmte Raumzeit?
(ii) Wie bewegt sich Materie in einer gekrümmten Raumzeit?
(iii) Welcher Zusammenhang besteht zwischen der Materieverteilung und der Krümmung der Raumzeit?

Zentrales Werkzeug des hier beschriebenen Zugangs sind sogenannte *Sektormodelle*. Es handelt sich um gegenständliche Modelle, die zwei- oder dreidimensionale Unterräume gekrümmter Raumzeiten maßstabsgetreu darstellen. Die Modelle sind eine Umsetzung der im Regge-Kalkül verwendeten koordinatenfreien Beschreibung einer gekrümmten Raumzeit durch Zerlegung in kleine, ungekrümmte Sektoren (Regge, 1961).

‡ Die Raumzeit sagt der Materie, wie sie sich bewegen soll. Die Materie sagt der Raumzeit, wie sie sich krümmen soll.

Im Falle eines zweidimensionalen Raums sind die Sektoren ebene Flächenstücke, im Falle eines dreidimensionalen Raums Klötzchen, in deren Innerem die Geometrie euklidisch ist. Raumzeitliche Unterräume bestehen aus Sektoren mit Minkowskigeometrie. Beim Bau des Anschauungsmodells werden die Sektoren beispielsweise als Papierstücke oder Pappklötzchen ausgeführt.

Anhand von Sektormodellen lassen sich die oben genannten drei Grundfragen auf anschauliche Weise behandeln. Der Zugang ist für das nicht vertiefte Physikstudium geeignet und kann auch mit Studienanfänger/innen und fortgeschrittenen Schüler/innen eingesetzt werden. Da die Darstellung bruchlos an die Standardformulierung anschließt, kann der Zugang auch als Ergänzung zur Standarddarstellung genutzt werden, um eine geometrische Anschauung für gekrümmte Raumzeiten zu vermitteln.

Dieser Beitrag geht auf die erste der oben genannten drei Grundfragen näher ein und zeigt, wie man anhand von Sektormodellen die Eigenschaften eines gekrümmten Raums verdeutlichen kann. Als Beispiel dient die Schwarzschildraumzeit eines Schwarzen Lochs. Der folgende Abschnitt 2 schildert zunächst beispielhaft den Ablauf eines Workshops zum Begriff des gekrümmten Raums. Er wurde in dieser Weise schon mehrfach mit Schülergruppen sowie mit Lehramtsstudierenden durchgeführt. Das Konzept des Sektormodells wird darin auf nichttechnische Weise eingeführt. Hintergründe zu Berechnung und Eigenschaften der Sektormodelle folgen in Abschnitt 3, ein raumzeitliches Sektormodell wird in Abschnitt 4 vorgestellt, einen Ausblick auf weitere mögliche Anwendungen von Sektormodellen gibt Abschnitt 5.

2. „Wir basteln ein Schwarzes Loch“

In diesem Workshop wird der dreidimensionale gekrümmte Raum um ein Schwarzes Loch veranschaulicht. Mit Veranschaulichung ist gemeint, dass eine geometrische Anschauung entwickelt werden soll, die es erlaubt, die geometrischen Eigenschaften dieses gekrümmten Raums auf qualitative Weise zu erfassen.

Das Schwarze Loch als Beispielobjekt hat hierbei zwei Vorzüge: Es weckt in der Regel großes Interesse, da Schwarze Löcher aus den Medien als exotische Objekte bekannt sind. Und relativistische Effekte sind in der Nähe eines Schwarzen Lochs so groß, dass sie in einem maßstabsgetreuen Modell problemlos zu erkennen sind.

2.1. Gekrümmte Flächen

Wir beginnen den Workshop damit, dass der Begriff der Krümmung anhand von Flächen im Raum eingeführt wird. Dabei unterscheiden wir positive, negative und verschwindende Krümmung; als Prototypen werden die Sphäre, die Sattelfläche sowie die Ebene vorgestellt.

Als Kriterium zur Ermittlung der Krümmung geben wir an: Ein kleines Stück der Fläche wird ausgeschnitten und flachgedrückt. Reißt es dabei ein, ist die Krümmung positiv, wirft es Falten, ist die Krümmung negativ. Lässt es sich ohne Einreißen

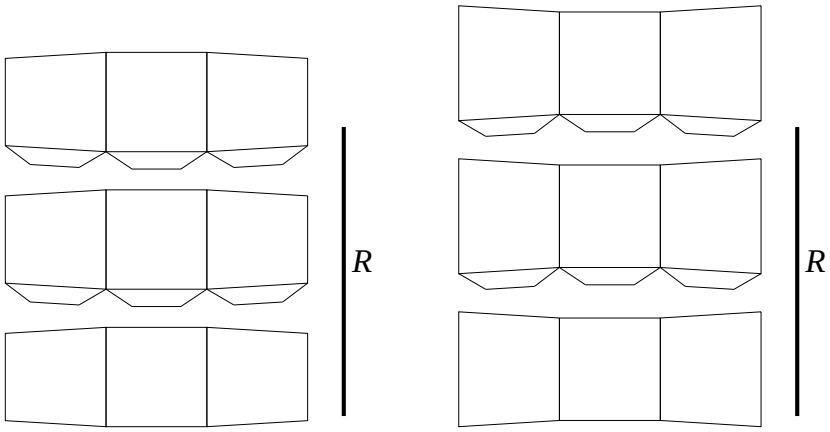

Abbildung 1. Bastelbögen gekrümmter Flächen. Links: Kugelkalotte zum Kugelradius R mit konstanter positiver Krümmung $K = 1/R^2$. Rechts: Sattelfläche mit konstanter negativer Krümmung $K = -1/R^2$. Eine Strecke der Länge R ist als Balken markiert.

oder Faltenwerfen flach ausbreiten, dann ist die Krümmung null. Dieses Kriterium stellt das Vorzeichen der inneren (Gaußschen) Krümmung fest. An einigen Beispielen wird das Zuordnen von Krümmungen geübt; nützliche Beispiele sind insbesondere der Torus (Krümmung am Innenrand negativ, am Außenrand positiv), der zeigt, dass die Krümmung über die Fläche variieren kann und der Zylinder (Krümmung null), der aufzeigt, dass die hier definierte innere Krümmung mit der Alltagsvorstellung einer gekrümmten Fläche nicht vollständig übereinstimmt.

Der zweite Schritt illustriert, wie eine gekrümmte Fläche durch kleine ebene Flächenstücke angenähert werden kann. Dazu dienen die beiden Bastelbögen in Abb. 1. Eine Gruppe erhält die Aufgabe, aus den Bastelbögen Flächen zusammenzukleben (Abb. 2(a), 2(b)) und jeweils das Vorzeichen der Krümmung zu bestimmen. Eine zweite Gruppe wird beauftragt, die Flächenstücke zwar auszuschneiden, aber nicht zusammenzukleben, sondern auf dem Tisch auszulegen (Abb. 2(c), 2(d)) und das Vorzeichen der Krümmung daraus zu bestimmen. Das Kriterium „Aufreißen oder Faltenwerfen“ ist auch in dieser Darstellung leicht anwendbar (Abb. 2(e), 2(f)).

Im dritten Schritt geht es darum, sich auf die Darstellung einer gekrümmten Fläche durch ausgelegte Flächenstücke (Abb. 2(c), 2(d)) einzulassen und zu erkennen, dass man auf die vertraute Darstellung der Fläche im umgebenden dreidimensionalen Raum (Abb. 2(a), 2(b)) sogar ganz verzichten kann. Um auf diese neue Sichtweise einzustimmen, schildern wir die Weltsicht der „Flächenwesen“, die Edwin Abbott in seinem Roman „Flächenland“ (Abbott, 1884) beschreibt:

Ich nenne unsere Welt Flächenland (...). Stellt euch ein weitausgedehntes Blatt Papier vor, auf dem sich (...) Figuren (...) frei hin- und herbewegen, jedoch ohne das Vermögen, sich darüber hinaus zu erheben oder darunter zu sinken, etwa wie Schatten (...) (deutsche Übersetzung: Abbott, 1982).

Die Flächenwesen bewegen sich in zwei Dimensionen (vor – zurück, rechts – links),

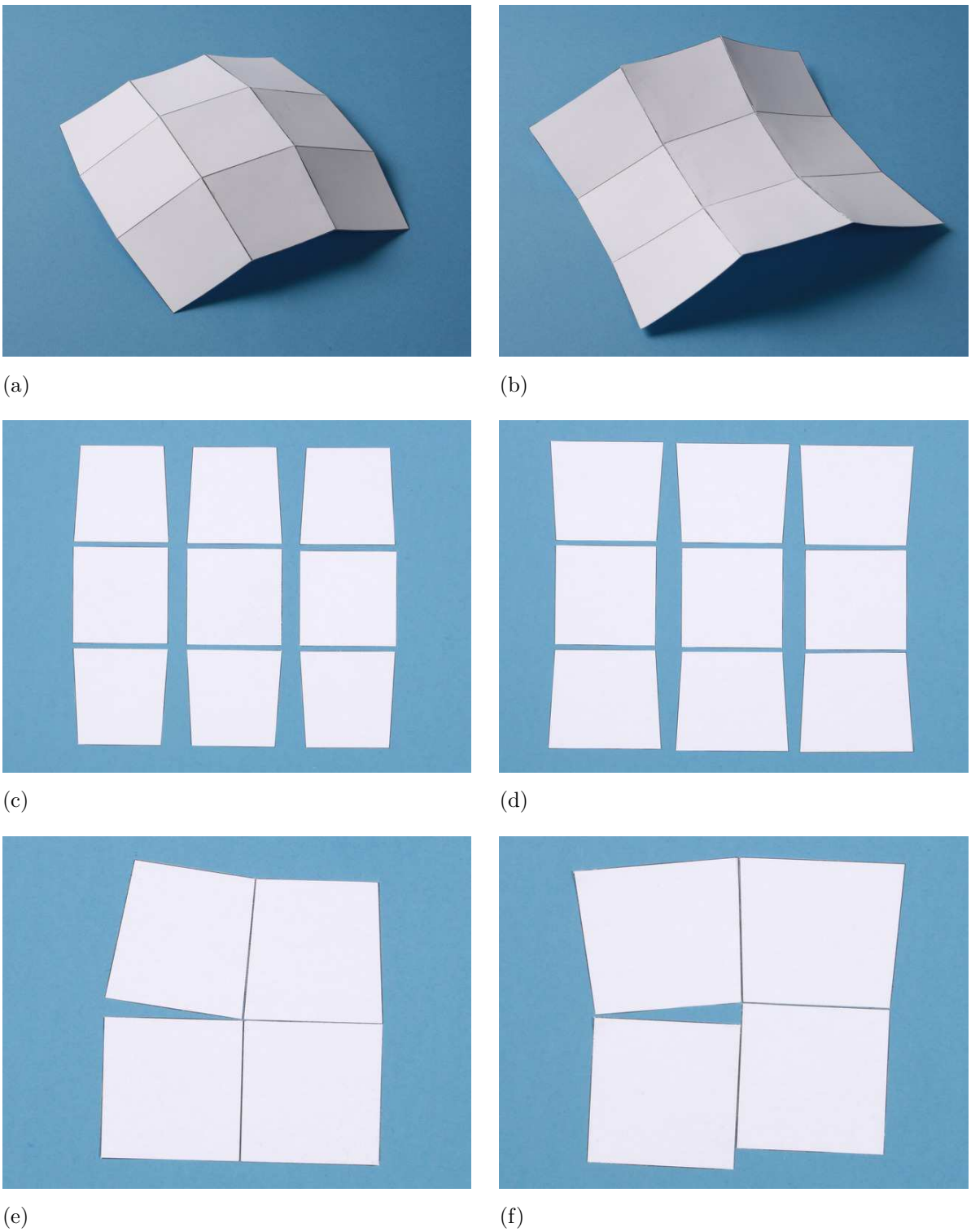

(a) (b)

(c) (d)

(e) (f)

Abbildung 2. Durch ebene Flächenstücke angenäherte gekrümmte Flächen mit positiver Krümmung (a) bzw. negativer Krümmung (b). Die zugehörigen Sektormodelle (c, d) zeigen die positive Krümmung durch „Aufreißen“ (e) und die negative Krümmung durch „Faltenwerfen“ (f) an einem Vertex an.

die dritte (oben – unten) ist ihnen nicht nur unzugänglich, sondern liegt jenseits ihres Vorstellungsvermögens. Wenn wir die Abbott'sche Flächenwelt auf eine gekrümmte Fläche mit Hügeln und Tälern erweitern, bewegen sich auch hier die Flächenwesen nur in der Fläche, vor – zurück und rechts – links. Ohne einen Begriff für oben und unten ist die Wölbung der Fläche in den umgebenden dreidimensionalen Raum für die Flächenwesen nicht vorstellbar. Dennoch können sie die Krümmung ihrer Welt untersuchen. Dazu fertigen sie eine Darstellung wie in Abb. 2(c), 2(d) an: Ein Gebiet wird in Stücke eingeteilt, die so klein sind, dass sie näherungsweise eben sind. Die Kantenlängen der Stücke werden ausgemessen; ein verkleinertes Modell wird zugeschnitten und als Sektormodell in der Ebene ausgelegt (entsprechend Abb. 2(c), 2(d)). Nur wenn das vermessene Gebiet eben war, fügen sich die Stücke lückenlos zusammen. Andernfalls kann man durch Zusammenschieben benachbarter Stücke um ihren gemeinsamen Eckpunkt (wie in Abb. 2(e), 2(f)) herausfinden, ob die Fläche dort positiv oder negativ gekrümmt ist.

2.2. Gekrümmte Räume

Im vierten Schritt untersuchen wir nun einen dreidimensionalen gekrümmten Raum. Als „Raumwesen", die drei Dimensionen kennen, von höherdimensionalen Räumen aber keine Vorstellung haben, können wir die Krümmung unseres dreidimensionalen Raums auf die gleiche Weise untersuchen wie die Flächenwesen die Krümmung ihrer Flächenwelt: Wir teilen ein Gebiet in Stücke ein (dreidimensional: Klötzchen), die so klein sind, dass der Raum in ihrem Inneren näherungsweise ungekrümmt ist. Die Kantenlängen werden ausgemessen, die Klötzchen als verkleinertes Modell nachgebaut und im ungekrümmten Raum zusammengesetzt. Nur wenn die Krümmung des vermessenen Gebiets null ist, passen die Klötzchen lückenlos zusammen. Ansonsten zeigt das Modell die Krümmung des Raums an.

Zwei solche Klötzchenmodelle – ein Modell des ungekrümmten Raums und ein Modell des gekrümmten Raums um ein Schwarzes Loch – werden in der Folge aus Bastelbögen von den Teilnehmern selbst gebaut und untersucht. Aus dem Bastelbogen „ungekrümmter Raum" (Abb. 3 oben) entstehen neun Klötzchen mit gelben, grünen und blauen Seitenflächen (Abb. 4(a)). Zusammengelegt (gelb auf gelb und grün auf grün) haben sie die Form eines halbierten Orangenschnitzes oder eines Tortenstücks (Abb. 4(b)). Nach Möglichkeit sollten mindestens drei solche Schnitze gebaut werden. Stellt man diese zusammen, so erkennt man, dass drei Schnitze eine Achtelkugel bilden (Abb. 4(c) zeigt die Erweiterung auf eine Viertelkugel aus sechs Schnitzen), in deren Zentrum eine kleine Innenkugel ausgespart ist. In Abb. 4(c) befindet sich im Inneren des Modells ein graues Klötzchen als Stütze, die das Aufstellen ermöglicht (ein Bastelbogen für die Stütze steht online zur Verfügung, siehe Zahn und Kraus (2014)). Vierundzwanzig Schnitze ergeben das vollständige Modell einer hohlen Kugel. Die Computergrafik in Abb. 5(a) zeigt einen Blick auf das weitgehend vollständige Sektormodell. Offensichtlich fügen sich alle Klötzchen lückenlos aneinander, wie es bei

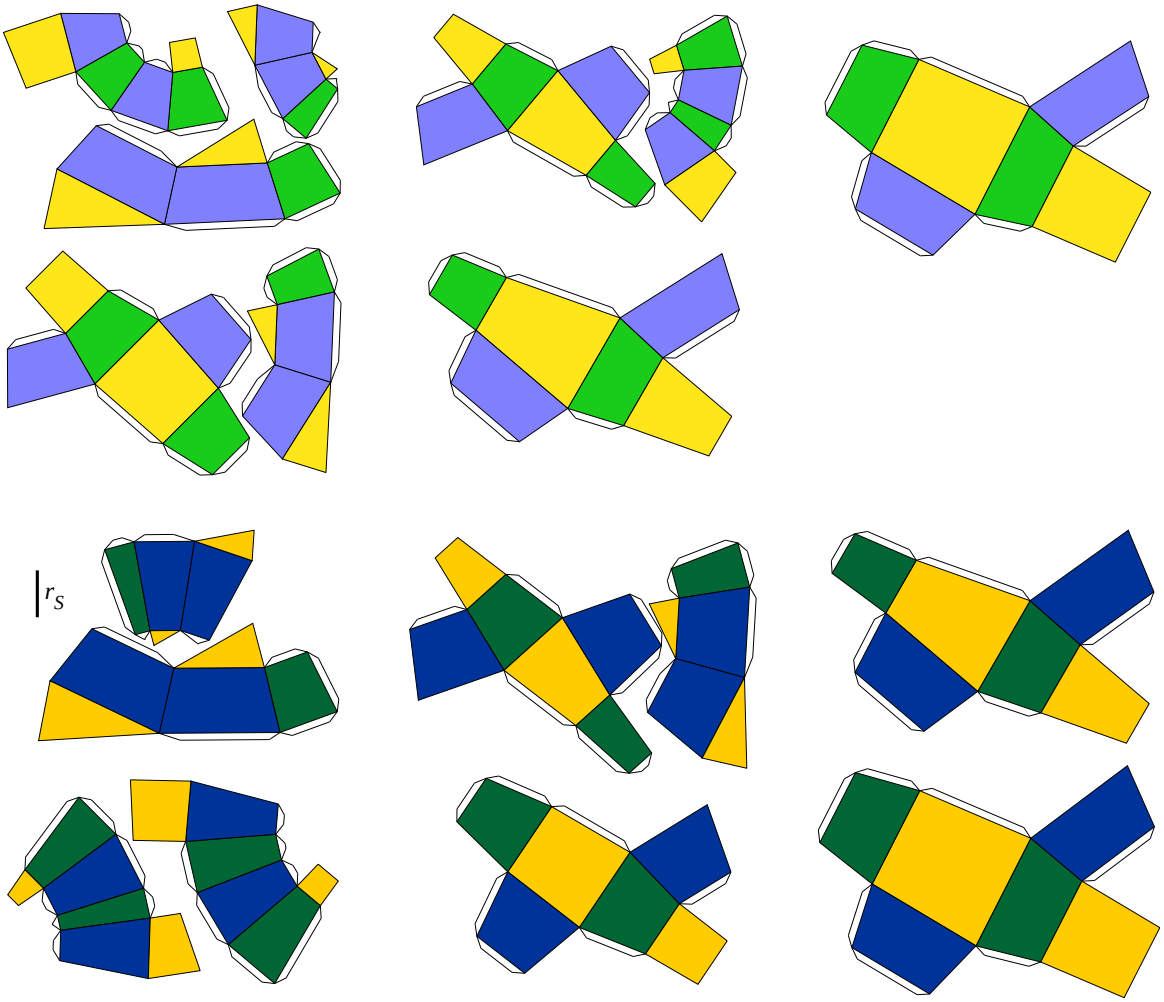

Abbildung 3. Bastelbögen für die Pappmodelle „ungekrümmter Raum“ (oben) und „Schwarzes Loch“ (unten). Der Schwarzschildradius r_S des Schwarzen Lochs ist als Balken markiert.

einem ungekrümmten Raum zu erwarten war.

Das zweite Sektormodell stellt ein Gebiet von gleicher Gestalt dar: Wiederum eine innen hohle Kugel, die nach dem gleichen Schema in 24 Schnitze zu je 9 Klötzchen eingeteilt ist. Hier aber befindet sich im Zentrum der Kugel ein Schwarzes Loch, so dass der Raum in dem betrachteten Gebiet stark gekrümmt ist. An dieser Stelle wird der Grund für die innen ausgesparte Kugel deutlich: Sie ist etwas größer als der Ereignishorizont des Schwarzen Lochs, enthält also vollständig dessen Innenbereich. Das Sektormodell kann nicht über den Ereignishorizont hinweg fortgesetzt werden, weil der Innenbereich nicht durch ein statisches Modell darstellbar ist. Aus dem Bastelbogen „gekrümmter Raum“ (Abb. 3 unten) werden 9 Klötzchen gebaut und zu einem Schnitz zusammengelegt (Abb. 4(d)). Das weitgehend vollständige Modell ist in der Computergrafik in Abb. 5(b) zu sehen. Dass die Klötzchen des zweiten Modells sich offensichtlich nicht lückenlos zu einer hohlen Kugel zusammenfügen lassen, zeigt die

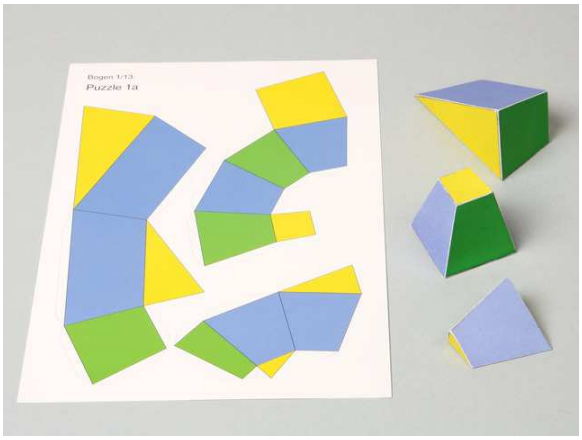

(a)

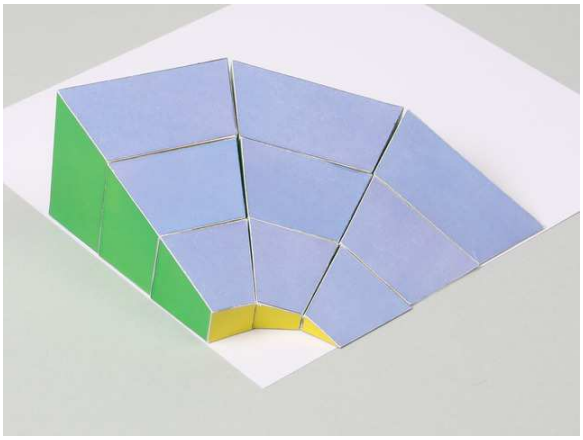

(b)

(c)

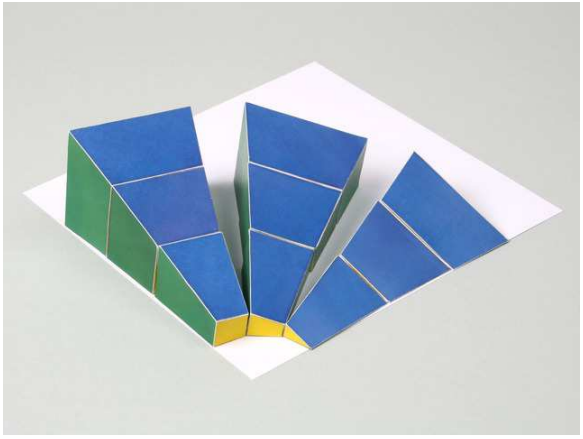

(d)

Abbildung 4. Sektormodelle: Bauteile (a), einzelner Schnitz (b) und Viertelkugel (c) des Modells „ungekrümmter Raum“, einzelner Schnitz des Modells „Schwarzes Loch“ (d).

innere Krümmung des Raums in diesem Gebiet an.

Lücken treten auf, wenn die Sektoren einer gekrümmten Fläche in der Ebene ausgebreitet werden bzw. wenn die Klötzchen eines gekrümmten Raums im ungekrümmten Raum zusammengesetzt werden. Befände sich dagegen ein Schwarzes Loch der passenden Masse im Zentrum des Modells, würden die Klötzchen *so wie sie sind* lückenlos zusammenpassen. Ebenso wie die Flächenstücke lückenlos zusammenpassen, wenn sie auf einer Fläche der passenden Krümmung ausgelegt werden.

Anhand des Sektormodells wird nun das Vorzeichen der Krümmung untersucht. Dies geschieht in Analogie zum zweidimensionalen Fall: In der Darstellung von Abb. 2(e), 2(f) werden jeweils vier Flächenstücke um ihren gemeinsamen Eckpunkt angeordnet, um die Frage „Aufreißen oder Faltenwerfen“ zu beantworten. Im räumlichen Modell haben vier Klötzchen nicht einen Punkt, sondern eine Kante gemeinsam. Ordnet man sie um diese Kante an, dann kann es passieren, dass ein Schlitz offenbleibt („Aufreißen“, positive

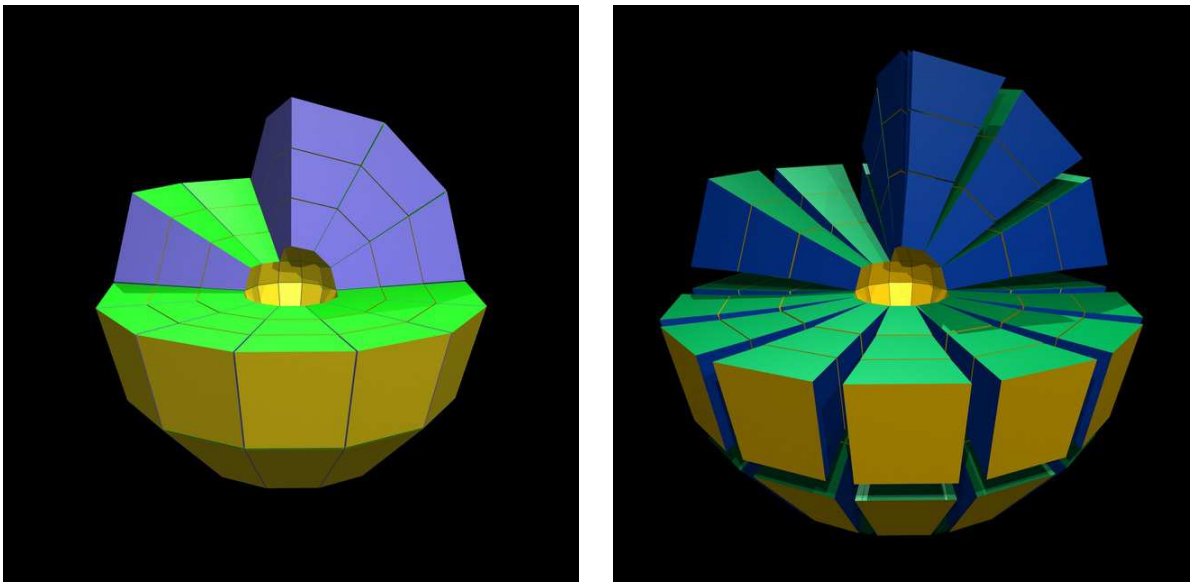

(a) (b)

Abbildung 5. Sektormodelle „ungekrümmter Raum“ (a) und „Schwarzes Loch“ (b) als Computergrafiken. Angeordnet um ein Schwarzes Loch der entsprechenden Masse würden die Klötzchen des Modells „Schwarzes Loch“, so wie sie sind, lückenlos zusammenpassen.

Krümmung) wie in Abb. 6(a) oder aber dass das vierte Klötzchen in die verbleibende offene Ecke nicht hineinpasst („Faltenwerfen“, negative Krümmung) wie in Abb. 6(b). Der springende Punkt ist nun, dass die drei Teilbilder (a), (b) und (c) von Abb. 6 zu drei verschiedenen Kanten *am selben Ort* gehören. D. h. die Krümmung an ein und demselben Ort ist je nach Richtung verschieden und kann auch ein verschiedenes Vorzeichen haben. Die Krümmung ist in drei Dimensionen also nicht eine Zahl, sondern eine Größe mit mehreren Komponenten. Es ist eine der Stärken der Sektormodelle, dass sie diese grundlegende Eigenschaft von gekrümmten Räumen mit mehr als zwei Dimensionen verdeutlichen (Zahn, 2008).

Im Vergleich der beiden Modelle kann man ferner aufzeigen, dass die Gesetze der euklidischen Geometrie in einem gekrümmten Raum nicht gelten. Zum Beispiel der Zusammenhang zwischen Oberfläche und Volumen eines Körpers: Die Kugelfläche, die die Modelle nach außen begrenzt, hat in beiden Fällen denselben Flächeninhalt. Man sieht das leicht ein, wenn man die Außenseiten einander entsprechender Klötzchen aneinanderhält; sie sind gleich groß. Dasselbe gilt für den Flächeninhalt der inneren Kugelfläche. Das zwischen den beiden Flächen eingeschlossene Volumen ist jedoch verschieden: Jedes Klötzchen im Sektormodell „Schwarzes Loch“ ist in radialer Richtung länger als das entsprechende Klötzchen im Sektormodell „ungekrümmter Raum“, d. h. die Oberfläche mit demselben Flächeninhalt enthält ein größeres Volumen. An dieser Stelle wird noch einmal auf die Flächenwesen verwiesen, die in ihrer zweidimensionalen Welt vergleichbare Feststellungen machen: Wenn sie auf einem Hügel den Umfang und

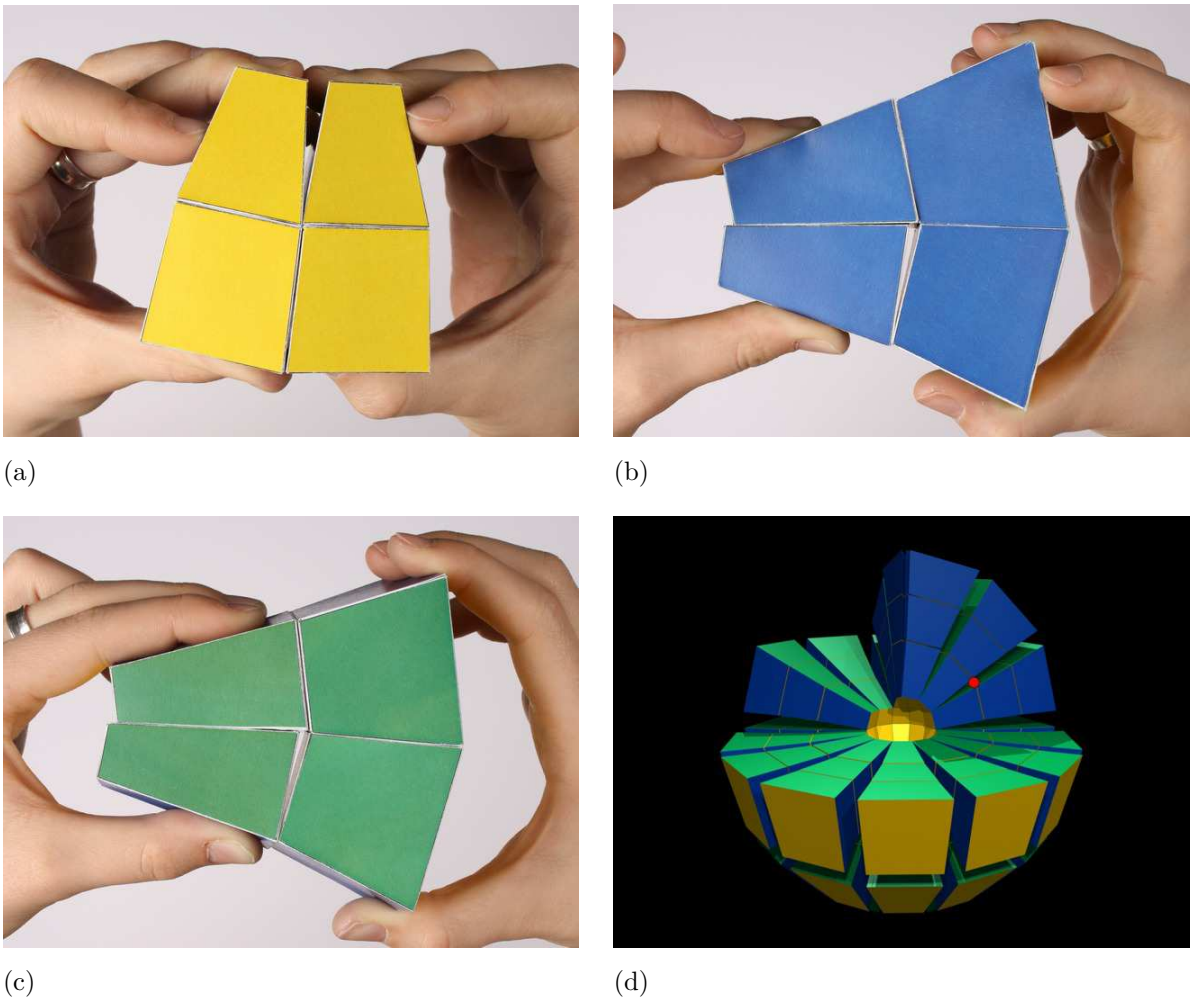

(a) (b)

(c) (d)

Abbildung 6. Krümmung im dreidimensionalen Raum. Der Vertex in der Bildmitte in (a), (b) und (c) ist in allen drei Teilbildern derselbe; in (d) ist er durch einen roten Punkt gekennzeichnet. Um die radiale Kante ist die Krümmung positiv (a), um die tangentialen Kanten negativ (b, c).

den Flächeninhalt eines Kreises bestimmen, dann ist der Flächeninhalt größer als er es bei gleichem Umfang in der Ebene wäre.

2.3. Visualisierung der Sektormodelle

Nach Konstruktion füllt jedes Sektormodell an seinem Ursprungsort den Raum lückenlos aus. Dies gilt auch für das Sektormodell „Schwarzes Loch“, dessen Sektoren im euklidischen Raum nicht lückenlos zusammengesetzt werden können. Man kann die Frage stellen, wie das Sektormodell an seinem Ursprungsort um ein Schwarzes Loch denn aussehen würde, wenn jedes einzelne Klötzchen die in Abb. 5(b) gezeigte Form hat und sich diese Klötzchen lückenlos zu einer Kugel schließen. Abb. 7(b) zeigt diesen Anblick, wobei die Anordnung der Klötzchen dieselbe ist wie in Abb. 5(b). Die Bilder in Abb. 7 wurden mit einem Raytracing-Verfahren berechnet, das von jedem Bildpunkt aus

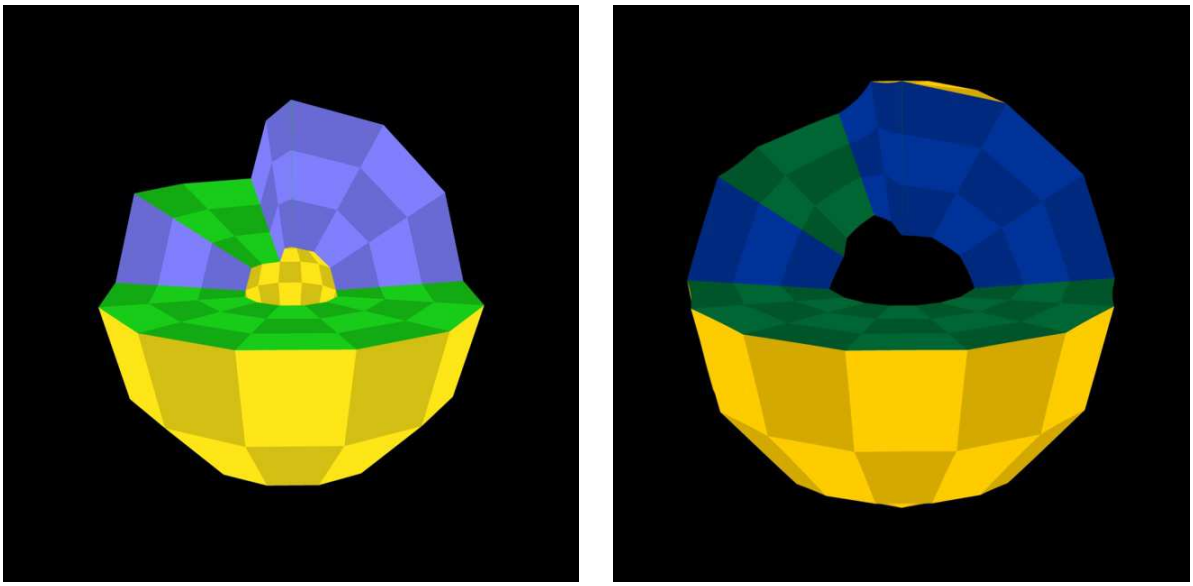

(a) (b)

Abbildung 7. Anblick des Sektormodells „an seinem Ursprungsort“: (a) euklidischer Raum, (b) Schwarzschildraum.

den eintreffenden Lichtstrahl durch die gekrümmte Raumzeit des Schwarzen Lochs zu seinem Ursprung zurückverfolgt (Zahn, 1991). Wie erwartet sind zwischen den Klötzchen keine Lücken zu sehen§. Im Vergleich von Abb. 7(b) mit Abb. 5(b) fällt neben gewissen Verzerrungen insbesondere auf, dass in der Visualisierung die gelbe Innenfläche des Modells nicht sichtbar ist. Diese Effekte sind eine Folge der gravitativen Lichtablenkung in der gekrümmten Raumzeit des Schwarzen Lochs.

3. Die Sektormodelle

3.1. Sektormodelle gekrümmter Flächen

Die in Abschnitt 2.1 dargestellte positiv gekrümmte Fläche ist eine Kugelkalotte zum Kugelradius R. Sie hat die Metrik

$$\mathrm{d}s^2 = R^2\mathrm{d}\theta^2 + R^2\cos^2\theta\,\mathrm{d}\phi^2 \tag{1}$$

mit der konstanten Gaußschen Krümmung $K = 1/R^2$. Die negativ gekrümmte Fläche ist eine Sattelfläche mit der Metrik

$$\mathrm{d}s^2 = R^2\mathrm{d}\theta^2 + R^2\cosh^2\theta\,\mathrm{d}\phi^2 \tag{2}$$

und der konstanten Gaußschen Krümmung $K = -1/R^2$.

Zur Zerlegung in Sektoren (Abb. 2(c), Abb. 2(d)) werden Vertizes mit den Koordinaten

$$\theta_i = -\frac{\pi}{6} + i\cdot\frac{\pi}{9} \qquad i = 0\ldots 3,$$

§ Um benachbarte Klötzchen im Bild unterscheiden zu können, wurden sie leicht unterschiedlich getönt.

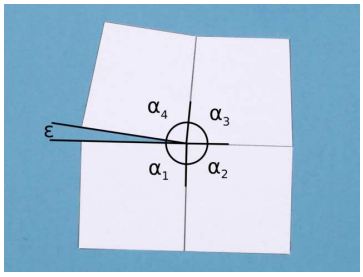

Abbildung 8. Defizitwinkel ϵ an einem Vertex.

$$\phi_j = j \cdot \frac{\pi}{9} \qquad\qquad j = 0 \ldots 3$$

gewählt. Die Längen der Sektorkanten sind die Längen der raumartigen Geodäten zwischen benachbarten Vertizes und werden durch Integration des Linienelements längs der Geodäten bestimmt. Aus den Kantenlängen und der Bedingung, dass die trapezförmigen Sektoren spiegelsymmetrisch sein sollen, folgt eindeutig deren Form.

Der Defizitwinkel an einem Vertex (Abb. 8) ist definiert durch

$$\epsilon = 2\pi - \sum_i \alpha_i, \tag{3}$$

wobei die Winkel α_i die Innenwinkel der an den Vertex angrenzenden Sektoren sind und sich die Summe über alle angrenzenden Sektoren erstreckt. Bei zunehmender Feinheit der Zerlegung wird die lokale Gaußsche Krümmung der Fläche durch

$$K = \rho\epsilon \tag{4}$$

approximiert, wobei ρ die lokale Dichte der Vertizes ist und ϵ der lokale Defizitwinkel (Regge, 1961).

3.2. Räumliche Sektormodelle

In Abschnitt 2.2 werden Sektormodelle des euklidischen Raums sowie der Umgebung eines Schwarzen Lochs vorgestellt. Die Metriken sind

$$\mathrm{d}s^2 = \mathrm{d}r^2 + r^2(\mathrm{d}\theta^2 + \sin^2\theta\,\mathrm{d}\phi^2) \tag{5}$$

für den euklidischen Raum und

$$\mathrm{d}s^2 = \left(1 - \frac{r_\mathrm{S}}{r}\right)^{-1} \mathrm{d}r^2 + r^2(\mathrm{d}\theta^2 + \sin^2\theta\,\mathrm{d}\phi^2) \tag{6}$$

für die dreidimensionale raumartige Hyperfläche der Schwarzschildraumzeit zu konstanter Schwarzschildzeit. Hier ist $r_\mathrm{S} = 2GM/c^2$ der Schwarzschildradius zur Zentralmasse M, G die Gravitationskonstante und c die Vakuumlichtgeschwindigkeit. Die als Online-Ressourcen erhältlichen Bastelbögen (Zahn und Kraus, 2014) ergeben bei Ausdruck im Format DIN A4 das Sektormodell für $r_\mathrm{S} = 2{,}68\,\mathrm{cm}$, entsprechend einer Zentralmasse von drei Erdmassen.

Zur Zerlegung in Sektoren (Abb. 4) werden Eckpunkte mit den Koordinaten

$$\begin{aligned} r_i &= i \cdot 1{,}25\, r_\mathrm{S} && i = 1 \ldots 4, \\ \theta_j &= j \cdot \frac{\pi}{6} && j = 0 \ldots 6, \\ \phi_k &= k \cdot \frac{\pi}{6} && k = 0 \ldots 11 \end{aligned}$$

gewählt. Die Zerlegung ist auf den Bereich außerhalb von $r = 1{,}25\, r_\mathrm{S}$ beschränkt. Innerhalb von r_S ist keine statische raumartige Hyperfläche definierbar. Genau wie bei den Modellen gekrümmter Flächen werden die Längen der Sektorkanten durch Integration des Linienelements längs raumartiger Geodäten zwischen benachbarten Gitterpunkten bestimmt. Der Symmetrie der Aufteilung entsprechend werden die Seitenflächen der Sektoren durch gleichschenklige Trapeze dargestellt. Die Form der Trapeze folgt aus den Kantenlängen und der Symmetriebedingung. Ein vollständiges dreidimensionales Modell besteht aus 216 Sektoren. Bei der gewählten symmetrischen Aufteilung in 24 identische Schnitze zu je neun Sektoren liefert ein Schnitz bereits die vollständige Information über die Geometrie. Die Bastelbögen enthalten die neun Sektoren eines Schnitzes entsprechend $i = 1 \ldots 4$, $j = 0 \ldots 3$ und $k = 0 \ldots 1$. Die Sektormodelle des euklidischen Raums und des Schwarzschildraums sind direkte Abbildungen der Metriken und zeigen (im Rahmen der groben Diskretisierung auch quantitativ korrekt) deren geometrische Eigenschaften. Insbesondere ist in radialer Richtung ein Klötzchen des Schwarzschildraums entsprechend dem aufintegrierten Metrikfaktor $\int (1 - r_\mathrm{S}/r)^{-1/2}\, \mathrm{d}r$ länger als das entsprechende Klötzchen des euklidischen Raums.

Der Defizitwinkel um eine Kante ist durch Gleichung (3) definiert. Beim euklidischen Raum ist er null, beim Schwarzschildraum hängt er von der Orientierung der Kante ab (Abb. 6). In einem lokalen Orthonormalsystem und mit einer Zerlegung längs der Koordinatenlinien werden bei zunehmender Feinheit der Zerlegung die Komponenten $R^{\hat{j}}{}_{\hat{k}\hat{j}\hat{k}}$ des Krümmungstensors durch

$$R^{\hat{j}}{}_{\hat{k}\hat{j}\hat{k}} = \rho \epsilon l \tag{7}$$

approximiert, wobei $\boldsymbol{e}_{\hat{i}}$, $\boldsymbol{e}_{\hat{j}}$, $\boldsymbol{e}_{\hat{k}}$ die Basisvektoren sind, ρ die Dichte der in i-Richtung verlaufenden Kanten, ϵ ihr Defizitwinkel und l ihre Kantenlänge (Regge, 1961; Misner, Thorne und Wheeler, 1973).

4. Raumzeitliche Sektormodelle

Das Konzept der Annäherung einer gekrümmten Fläche oder eines gekrümmten Raums durch kleine ungekrümmte Sektoren lässt sich auf gekrümmte Raumzeiten übertragen. Die ungekrümmten Sektoren haben in diesem Fall Minkowskigeometrie. Abb. 9 zeigt ein Beispiel für eine solche Zerlegung. Die gekrümmte Raumzeit ist hier der zweidimensionale t-r-Unterraum der Schwarzschildraumzeit mit der Radialkoordinate r als räumlicher und der Schwarzschildzeit t als zeitlicher Koordinate. Seine Metrik ist

$$\mathrm{d}s^2 = -\left(1 - \frac{r_\mathrm{S}}{r}\right) \mathrm{d}t^2 + \left(1 - \frac{r_\mathrm{S}}{r}\right)^{-1} \mathrm{d}r^2 \tag{8}$$

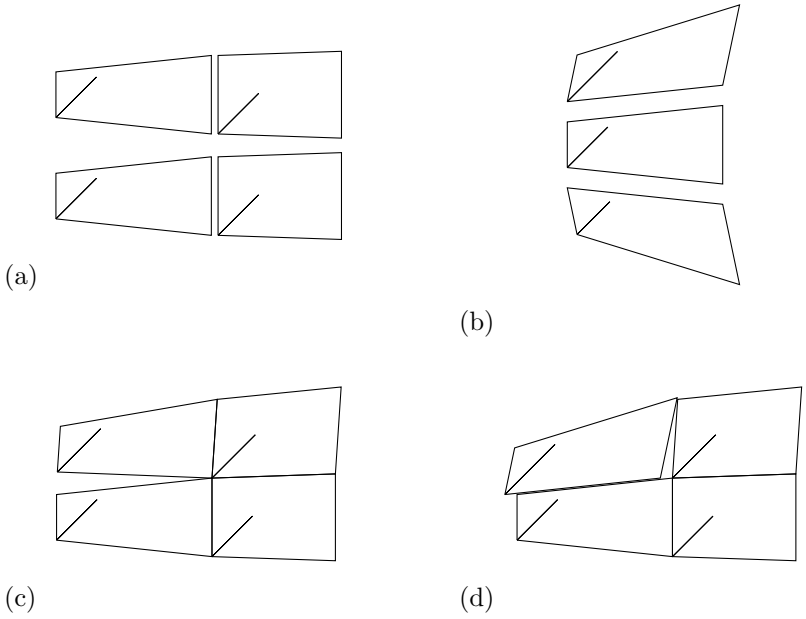

Abbildung 9. (a) Raumzeitliches Sektormodell für den t-r-Unterraum der Schwarzschildmetrik. Die räumliche Koordinatenachse verläuft horizontal, die zeitliche vertikal, die diagonalen Linien stellen die Lichtkegel dar. (b) Verschiedene Darstellungen desselben raumzeitlichen Sektors. Sie gehen durch Lorentztransformation ineinander über. (c) Defizitwinkel in raumartiger Richtung: „Aufreißen“. (d) Defizitwinkel in zeitartiger Richtung: „Faltenwerfen“.

mit dem Schwarzschildradius r_S. In diesem Abschnitt werden geometrische Einheiten verwendet, so dass die Vakuumlichtgeschwindigkeit $c = 1$ ist.

Zur Zerlegung in Sektoren werden Vertizes mit den Koordinaten

$$\begin{aligned} t_i &= i \cdot 1{,}25\, r_\mathrm{S} \qquad i = 0 \ldots 2, \\ r_j &= j \cdot 1{,}25\, r_\mathrm{S} \qquad j = 1 \ldots 3 \end{aligned}$$

gewählt. Die Geodäten zwischen den Vertizes sind teils raumartig, teils zeitartig. In beiden Fällen werden die Längen der Sektorkanten durch Integration des Linienelements längs der Geodäten bestimmt. Da die Metrik von der Koordinate t unabhängig ist, werden in t-Richtung identische Sektoren aneinandergefügt. Jeder Sektor wird durch ein gleichschenkliges Trapez dargestellt, dessen Grundseiten die zeitartigen Kanten sind. Mit dieser Symmetriebedingung wird die Form der Trapeze durch die Kantenlängen festgelegt. Abb. 9(a) zeigt die graphische Darstellung der Sektoren im Minkowskidiagramm.

Jeder Sektor hat Minkowskigeometrie und es gelten die Aussagen der Speziellen Relativitätstheorie über die Minkowskiraumzeit. Dies beinhaltet insbesondere die Freiheit zur Beschreibung von Ereignissen ein beliebiges Inertialsystem zu wählen, wobei der Wechsel zwischen Inertialsystemen durch die Lorentztransformation bewerkstelligt wird. In der graphischen Darstellung als Minkowskidiagramm ist den beiden durch Lorentztransformation verbundenen Bezugssystemen der Lichtkegel gemeinsam,

während die Zeitachsen gegeneinander verdreht sind, ebenso, in Gegenrichtung, die Raumachsen. Die in Abb. 9(a) gezeigten Darstellungen der Sektoren im Raumzeitdiagramm entsprechen also jeweils der Wahl eines bestimmten Inertialsystems; beim Wechsel in ein anderes Inertialsystem ergibt sich durch Lorentztransformation eine andere graphische Darstellung im Minkowskidiagramm (Abb. 9(b)). Im raumzeitlichen Sinne bleiben Form und Symmetrieeigenschaften der Sektoren dabei jedoch erhalten, da diese auf dem unter Lorentztransformation invarianten Skalarprodukt basieren. Um die Krümmung zu untersuchen, sollen nun wiederum Sektoren um einen gemeinsamen Vertex zusammengelegt werden. Im räumlichen Fall werden die Sektoren gedreht, um die Kanten benachbarter Sektoren zur Deckung zu bringen. Im raumzeitlichen Fall tritt an die Stelle der Drehung eine Lorentztransformation. Man kann sich klarmachen, dass ein Aneinanderfügen durch Drehung in der t-r-Ebene nicht möglich ist, wenn man bedenkt, dass die Lichtkegel der zusammengefügten Sektoren identisch sein müssen. Die oben geschilderte Änderung der Darstellung beim Wechsel des Inertialsystems ermöglicht es, die Kanten benachbarter Sektoren im Minkowskidiagramm zur Deckung zu bringen (Abb. 9(c)). Ist die zerlegte Raumzeit ein globaler Minkowskiraum, dann lassen sich die Sektoren auf diese Weise zu einem lückenlosen Ausschnitt der Raumzeit zusammenfügen. Im obigen Beispiel verbleibt jedoch ein Defizitwinkel um den Vertex (Abb. 9(c)), dies zeigt eine raumzeitliche Krümmung an. Wenn, wie in diesem Beispiel, zwischen zwei raumartigen Kanten eine Lücke verbleibt, ist die raumzeitliche Krümmung positiv, im Falle einer Überlappung wäre sie negativ‖. Setzt man die Sektoren so zusammen, dass der Defizitwinkel zwischen zwei zeitartigen Kanten liegt, resultiert im obigen Beispiel eine Überlappung (Abb. 9(d)). Die Lücke zwischen den raumartigen und die Überlappung der zeitartigen Kanten entsprechen derselben Lorentztransformation, die nötig wäre um die an die Lücke angrenzenden Kanten zur Deckung zu bringen.

Ähnlich wie bei den gekrümmten Räumen hängt auch hier der Defizitwinkel mit der entsprechenden Komponente des Krümmungstensors zusammen: In einem lokalen Orthonormalsystem und mit einer Zerlegung längs der Koordinatenlinien wird bei zunehmender Feinheit der Zerlegung die Komponente $R^{\hat{t}}{}_{\hat{r}\hat{t}\hat{r}}$ durch

$$R^{\hat{t}}{}_{\hat{r}\hat{t}\hat{r}} = \rho\alpha \tag{9}$$

approximiert, wobei $\boldsymbol{e}_{\hat{t}}$ und $\boldsymbol{e}_{\hat{r}}$ die zeitartigen bzw. raumartigen Basisvektoren sind, ρ die lokale Flächendichte der Vertizes und α mit $\beta = \tanh\alpha$ der lokale Geschwindigkeitsparameter der dem Defizitwinkel entsprechenden Lorentztransformation zur Geschwindigkeit β.

5. Fazit und Ausblick

Sektormodelle sind Anschauungsmodelle, die zwei- und dreidimensionale gekrümmte Räume bzw. Raumzeiten maßstabsgetreu darstellen. Die Darstellung ist koordinatenfrei

‖ Wird die Signatur $(+---)$ gewählt, dann hat die raumzeitliche Krümmung das entgegengesetzte Vorzeichen: Sie ist negativ (positiv), wenn zwischen zwei raumartigen Kanten eine Lücke verbleibt (eine Überlappung auftritt).

und daher der geometrischen Anschauung unmittelbar zugänglich. Wir haben gezeigt, wie mit Hilfe solcher Modelle die Krümmung eines dreidimensionalen Raums sowie die Krümmung einer Raumzeit auf anschauliche Weise dargestellt werden kann. Dies ist unsere Antwort auf die erste der anfangs gestellten Fragen, was man sich denn unter einem gekrümmten Raum vorzustellen habe. Die Arbeit mit den Sektormodellen kann für sich allein stehen, kann aber auch eine Ergänzung zur üblichen Einführung des Riemannschen Krümmungstensors sein.

Der in Abschnitt 2 beschriebene Workshop zur Einführung gekrümmter Räume anhand von Sektormodellen wurde mit Studierenden, Schüler/innen der Oberstufe und erwachsenen Interessenten erprobt (Zahn und Kraus, 2004; Kraus und Zahn, 2005; Zahn und Kraus, 2010, 2012). Der vorgestellte Ablauf sowie die verwendeten Materialien sind in einem mehrfach durchlaufenen Zyklus aus Erprobung und Überarbeitung entstanden. Seit einigen Jahren wird dieser Workshop regelmäßig in der Lehramtsausbildung an der Universität Hildesheim eingesetzt.

Im Vergleich mit dem in der Einleitung erwähnten Zugang zu gekrümmten Räumen über die Eigenschaften von prototypischen gekrümmten Flächen, bietet der Einsatz von Sektormodellen eine erhebliche Erweiterung. Gekrümmte zweidimensionale Flächen werden üblicherweise eingebettet in einen dreidimensionalen Raum dargestellt. Eine Darstellung gekrümmter dreidimensionaler Räume ist auf diese Weise nicht möglich, da der dazu benötigte höherdimensionale Einbettungsraum unserer Anschauung nicht zugänglich ist. Die Sektormodelle dagegen benötigen keine Zusatzdimension. Mit ihnen können wir als Raumwesen die Geometrie des von uns bewohnten dreidimensionalen Raums untersuchen und verstehen. Darüber hinaus kann mit Sektormodellen der Tensorcharakter der Krümmung in Räumen von mehr als zwei Dimensionen verdeutlicht werden. Diese Möglichkeit bieten weder prototypische gekrümmte Flächen noch Einbettungsdiagramme.

Der Nutzen von Sektormodellen geht über die Veranschaulichung der Krümmung weit hinaus, wie in einem zweiten Teil zu diesem Beitrag gezeigt werden wird. Sektormodelle erlauben es, weitere geometrische Konzepte auf anschauliche Weise einzuführen (z. B. Paralleltransport, Geodäte) und physikalische Phänomene mit zeichnerischen statt rechnerischen Mitteln aus der Geometrie der Raumzeit zu folgern (z. B. Teilchenbahnen, Rotverschiebung). Andere Raumzeiten, die z. B. Materie enthalten oder nicht statisch sind, können auf die gleiche Weise beschrieben werden wie hier die Schwarzschildraumzeit. Anhand von Sektormodellen lassen sich also auch die zweite und dritte der anfangs genannten drei Grundfragen, nämlich die Bewegung der Teilchen sowie der Zusammenhang zwischen Krümmung und Materiedichte auf anschauliche Weise beantworten.

Literatur

Abbott E 1884 *Flatland, A Romance in Many Dimensions* (London: Seely & Co)

Abbott E 1982 *Flächenland: ein mehrdimensionaler Roman. Aus dem Engl. übersetzt von J. Kalka* (Stuttgart: Klett-Cotta)

Ehlers J und Pössel M 2003 Neuere Entwicklungen der relativistischen Physik in Born M *Die Relativitätstheorie Einsteins* (Berlin: Springer)

Einstein A 1916 *Über die spezielle und die allgemeine Relativitätstheorie* reprint 2009 (Berlin: Springer)

Epstein L C 1994 *Relativity Visualized* (San Francisco: Insight)

Flamm L 1916 Beiträge zur Einstein'schen Gravitationstheorie *Physikalische Zeitschrift* **17** 448–54

Gamow G 1961 Gravity *Sci. Am.* **204** 94–106

Hartle J 2003 *Gravity* (San Francisco: Addison Wesley)

Jonsson R M 2000 Embedding spacetime via a geodesically equivalent metric of euclidean signature *Gen. Relativ. Gravit.* **33** 1207–35

Jonsson R M 2005 Visualizing curved spacetime *Am. J. Phys.* **73** (3) 248–60

Kraus U und Zahn C 2005 Wir basteln ein Schwarzes Loch – Unterrichtsmaterialien zur Allgemeinen Relativitätstheorie *Praxis der Naturwissenschaften Physik, Didaktik der Relativitätstheorien* **4/54** 38–43

Lotze K-H 2004 Eine gläserne „Gravitations"-Linse *Astronomie und Raumfahrt* **5/41** 10–14

Lotze K-H 2005 Wissenschaftsdidaktische Variationen über die Lichtablenkung am Sonnenrand *Praxis der Naturwissenschaften, Physik in der Schule* **4/54** 29–37

Marolf D 1999 Spacetime embedding diagrams for black holes *Gen. Rel. Grav.* **31** 919 (*Preprint* gr-qc/9806123)

Misner C, Thorne K und Wheeler J 1973 *Gravitation* (San Francisco: W. H. Freeman & Co.)

Natário J 2011 *General Relativity Without Calculus* (Berlin: Springer)

Price R und Grover E 2001 Cosmological expansion in the classroom *Am. J. Phys.* **69** (2) 125–28

Regge T 1961 General relativity without coordinates *Il Nuovo Cimento* **19** 558–71

Sartori L 1996 *Relativity. A Simplified Approach to Einstein's Theories* (Berkeley: University of California Press)

Stannard R 2008 *Relativity. A Very Short Introduction* (Oxford: Oxford University Press)

Tipler P und Mosca G 2008 *Physics for Scientists and Engineers. With Modern Physics* (San Francisco: W. H. Freeman & Co.)

Wheeler J A 1990 *A Journey into Gravity and Spacetime* (New York: W. H. Freeman & Co.)

Zahn C 1991 *Vierdimensionales Ray-Tracing in einer gekrümmten Raumzeit*, Diplomarbeit, Universität Stuttgart
`http://www.tempolimit-lichtgeschwindigkeit.de/ssm/ssm.html`

Zahn C 2008 *Visualisierung der Relativitätstheorie – Koordinatenfreie und interaktive Werkzeuge*, Dissertation, Universität Tübingen
`http://hdl.handle.net/10900/49214`

Zahn C und Kraus U 2004 *Wir basteln ein Schwarzes Loch*, Arbeitsheft mit Bastelbögen
`http://www.tempolimit-lichtgeschwindigkeit.de/graum/bastel.html`

Zahn C und Kraus U 2010 Workshops zur Allgemeinen Relativitätstheorie im Schülerlabor „Raumzeitwerkstatt“ an der Universität Hildesheim *PhyDid B* DD 09.03

Zahn C und Kraus U 2012 Allgemeine Relativitätstheorie in der Schule *Inquiry-based Learning – Forschendes Lernen* Bernholt S [Hrsg.] (IPN Kiel) pp 317–19

Zahn C und Kraus U 2014 Online-Ressourcen zum Beitrag
`http://www.tempolimit-lichtgeschwindigkeit.de/sectormodels1/sectormodels1.html`